

# Équidistribution, comptage et approximation par irrationnels quadratiques

Jouni Parkkonen      Frédéric Paulin

6 novembre 2018

## Résumé

Soit  $M$  une variété hyperbolique de volume fini, nous montrons que les hypersurfaces équidistantes à une sous-variété  $C$  de volume fini totalement géodésique s'équidistribuent dans  $M$ . Nous donnons un asymptotique précis du nombre de segments géodésiques de longueur au plus  $t$ , perpendiculaires communs à  $C$  et au bord d'un voisinage cuspidal de  $M$ . Nous en déduisons des résultats sur le comptage d'irrationnels quadratiques sur  $\mathbb{Q}$  ou sur une extension quadratique imaginaire de  $\mathbb{Q}$ , dans des orbites données des sous-groupes de congruence des groupes modulaires.

## Abstract

Let  $M$  be a finite volume hyperbolic manifold, we show the equidistribution in  $M$  of the equidistant hypersurfaces to a finite volume totally geodesic submanifold  $C$ . We prove a precise asymptotic on the number of geodesic arcs of lengths at most  $t$ , that are perpendicular to  $C$  and to the boundary of a cuspidal neighbourhood of  $M$ . We deduce from it counting results of quadratic irrationals over  $\mathbb{Q}$  or over imaginary quadratic extensions of  $\mathbb{Q}$ , in given orbits of congruence subgroups of the modular groups.<sup>1</sup>

## 1 Introduction

Soit  $M$  une variété hyperbolique (c'est-à-dire riemannienne lisse, complète et à courbure sectionnelle constante  $-1$ ) connexe, de volume fini, de dimension  $n$  au moins 2. Soit  $C$  une sous-variété immergée de volume fini de  $M$ , connexe, de dimension  $k < n$ , totalement géodésique (par exemple une géodésique fermée). Soit  $\Sigma$  une composante connexe du fibré normal unitaire de  $C$ . Pour tout  $t > 0$ , notons  $\Sigma(t) = \{\exp tv : v \in \Sigma\}$  l'hypersurface strictement convexe immergée de  $M$ , poussée au temps  $t$  le long des rayons géodésiques orthogonaux à  $C$  dans la direction  $\Sigma$ .

Notre premier résultat dit que la moyenne riemannienne de  $\Sigma(t)$  s'équidistribue quand  $t$  tend vers  $+\infty$  vers la moyenne riemannienne de  $M$ .

**Théorème 1.1** *Pour toute fonction  $\varphi$  continue à support compact dans  $M$ , nous avons*

$$\lim_{t \rightarrow +\infty} \int_M \varphi(x) d \text{vol}_{\Sigma(t)}(x) = \int_M \varphi(x) d \text{vol}_M(x) .$$

---

1. **Keywords** : Equidistribution, counting, quadratic irrational, hyperbolic manifold, binary quadratic form, perpendicular geodesic. **AMS codes** : 37A45, 11R11, 53A35, 22F30, 20H10, 11H06, 53C40, 11E16

Lorsque  $n = 2$  et  $\Sigma$  est le fibré normal unitaire tout entier de  $C$ , ce résultat est dû à [EM], sur des idées remontant à la thèse de Margulis (voir par exemple [Mar2]). Dans celle-ci, l'équidistribution de grandes horosphères, que l'on peut voir comme les  $\Sigma(t)$  où  $\Sigma$  est le fibré normal unitaire sortant du bord (non totalement géodésique) d'un voisinage cuspidal (ou de Margulis, voir par exemple [BK]) d'un bout de  $M$ , est démontrée. Nous renvoyons à [Bab, Rob] pour des résultats généraux d'équidistribution d'horosphères, et par exemple à [EM] (dont les méthodes ne peuvent s'appliquer dans notre situation si  $n \geq 3$  et  $k > 0$ , l'espace homogène  $\mathrm{PSL}_2(\mathbb{C})/\left\{\begin{pmatrix} a & 0 \\ 0 & a^{-1} \end{pmatrix} : a > 0\right\}$  n'étant par exemple pas symétrique affine) et aux travaux de Benoist, Duke, Einsiedler, Eskin, Gorodnick, Lindenstrauss, Margulis, Mozes, Oh, Ratner, Quint, Rudnick, Sarnak, Shah, Tomanov, Ullmo, Venkatesh, Weiss pour d'autres résultats d'équidistribution dans des espaces homogènes.

Nous utilisons ensuite ce théorème pour montrer un résultat de comptage de rayons géodésiques partant perpendiculairement de  $C$  et convergeant dans un bout de  $M$ . Pour normaliser les longueurs, notons  $\mathcal{H}$  un voisinage cuspidal d'un bout de  $M$ . Pour tout  $t \geq 0$ , notons  $\mathcal{N}(t)$  le nombre (compté avec multiplicité) de segments (localement) géodésiques perpendiculaires commun à  $C$  et à  $\partial\mathcal{H}$ , de longueur au plus  $t$ .

**Théorème 1.2** *Quand  $t$  tend vers  $+\infty$ , nous avons l'équivalent*

$$\mathcal{N}(t) \sim \frac{\mathrm{Vol}(\mathbb{S}_{n-k-1}) \mathrm{Vol}(\mathcal{H}) \mathrm{Vol}(C)}{\mathrm{Vol}(\mathbb{S}_{n-1}) \mathrm{Vol}(M)} e^{(n-1)t}.$$

L'origine de ces résultats asymptotiques précis remonte à Huber [Hub] en dimension 2, et nous renvoyons particulièrement à [Her] pour d'autres résultats de comptages d'arcs perpendiculaires à des sous-variétés totalement géodésiques. Généralisant les résultats de Huber en courbure variable et en dimension quelconque, Margulis (voir par exemple [Mar2]) donne un équivalent du nombre d'arcs (localement) géodésiques entre deux points de  $M$  de longueur au plus  $t$ . Voir par exemple [BHP, Rob, HP] pour les comptages d'arcs perpendiculaires à des horosphères.

Nous donnons dans cette introduction trois exemples d'applications arithmétiques du théorème 1.2 (et de ses variantes, exposées à la fin de la partie 4).

Soit  $Q(X, Y) = AX^2 + BXY + CY^2$  une forme quadratique binaire entière, et  $D = D_Q = B^2 - 4AC$  son discriminant. Notons  $\mathcal{P}$  l'ensemble des éléments de  $\mathbb{Z}^2$  à coordonnées premières entre elles. Une *représentation* (resp. *représentation propre*) d'un entier  $n \in \mathbb{Z}$  par  $Q$  est un élément  $x \in \mathbb{Z}^2$  (resp.  $x \in \mathcal{P}$ ) tel que  $Q(x) = n$ . Lorsque  $Q$  est définie positive (en particulier,  $D < 0$ ), Gauss a donné un équivalent quand  $t$  tend vers  $+\infty$  du nombre de représentations propres par  $Q$  d'entiers inférieurs à  $t$  (voir par exemple [Lan], [Coh, Chap. 10]) :

$$\mathrm{Card}(\{x \in \mathcal{P} : Q(x) \leq t\}) \sim \frac{12}{\pi\sqrt{-D_Q}} t.$$

Supposons maintenant que  $Q$  soit primitive ( $A, B, C$  sont premiers entre eux), indéfinie ( $D > 0$ ), et ne soit pas, à multiple rationnel près, un produit de deux formes linéaires entières ( $D$  n'est pas un carré). Au lieu de compter des points entiers dans des ellipses, il s'agit maintenant de compter des points entiers entre des hyperboles (voir par exemple

[Coh] et la partie 5.3 pour des dessins). Notons  $\mathrm{SO}(Q, \mathbb{Z})$  le groupe spécial orthogonal entier de  $Q$  (appelé le *groupe des automorphes* de  $Q$ ), qui est infini. Notons

$$\Psi_Q(t) = \mathrm{Card} \left( \mathrm{SO}(Q, \mathbb{Z}) \setminus \{x \in \mathcal{P} : |Q(x)| \leq t\} \right)$$

le nombre de classes modulo  $\mathrm{SO}(Q, \mathbb{Z})$  de représentations propres par  $Q$  d'entiers inférieurs à  $t$  en valeur absolue. Soit  $(t_Q, u_Q)$  la solution fondamentale (c'est-à-dire  $t_Q, u_Q > 0$  et  $u_Q$  est minimal) de l'équation de Pell-Fermat  $t^2 - D u^2 = 4$ , notons  $\epsilon_Q = \frac{t_Q + u_Q \sqrt{D}}{2}$  et  $R_Q = \log \epsilon_Q$ .

**Corollaire 1.3** *Quand  $s$  tend vers  $+\infty$ , nous avons  $\Psi_Q(t) \sim \frac{12 R_Q}{\pi^2 \sqrt{D_Q}} t$ .*

Ce résultat est connu (voir par exemple [Coh, page 164] pour le comptage des représentations impropres). Mais notre preuve permet de nombreuses variations, voir en particulier la partie 5.3 lorsque l'on impose de plus des conditions de congruences sur les coordonnées des points entiers.

Passons au second exemple d'application arithmétique. Les résultats de comptage, et de comptage asymptotique, de nombres algébriques, de complexité bornée (degré, hauteur, etc), satisfaisant des contraintes algébriques données, sont au coeur de la théorie des nombres. Si  $K$  est un corps de nombres, d'anneau des entiers  $\mathcal{O}_K$ , le groupe  $\mathrm{PSL}_2(\mathcal{O}_K)$  agit sur les irrationnels quadratiques sur  $K$ , mais non transitivement, et il est intéressant de donner une asymptotique précise du nombre d'éléments dans une orbite donnée ayant une complexité bornée. Pour tout irrationnel quadratique  $\alpha$  sur  $K$ , nous noterons  $\alpha^\sigma$  son conjugué de Galois sur  $K$ . Les résultats de ce papier sont motivés par des problèmes, introduits et développés dans [PP1], d'approximation diophantienne d'éléments de  $\mathbb{R}$  ou  $\mathbb{C}$  par des irrationnels quadratiques sur  $\mathbb{Q}$  (ou sur une extension imaginaire quadratique de  $\mathbb{Q}$ ) qui appartiennent à une orbite donnée du groupe modulaire (ou du groupe de Bianchi). Dans ce cadre, l'inverse de la distance entre  $\alpha$  et  $\alpha^\sigma$  est une complexité pertinente, lorsque  $\alpha$  est considéré modulo translations entières (voir la partie 5.1 pour des justifications). Nous renvoyons par exemple à [Bug, Wald] pour des monographies sur l'approximation diophantienne par des nombres algébriques.

Notre second exemple d'application arithmétique est un résultat de comptage (pour la complexité ci-dessus) d'irrationnels quadratiques sur  $\mathbb{Q}$  dans une orbite du groupe modulaire  $\mathrm{PSL}_2(\mathbb{Z})$  (étendu par l'automorphisme de Galois). Fixons  $\alpha_0$ , un entier quadratique sur  $\mathbb{Q}$  irrationnel réel. Notons  $\mathcal{O} = \mathbb{Z} + \alpha_0 \mathbb{Z}$  l'ordre qu'il définit dans  $\mathbb{Q}(\alpha_0)$ . Soient  $D = \mathrm{Tr}(\alpha_0)^2 - 4N(\alpha_0)$  le discriminant de  $\mathcal{O}$ ,  $(t_0, u_0)$  la solution fondamentale de l'équation de Pell-Fermat  $t^2 - D u^2 = 4$ ,  $\epsilon_0 = \frac{t_0 + u_0 \sqrt{D}}{2}$  l'unité fondamentale de  $\mathcal{O}$ , et  $R_0 = \log \epsilon_0$  le régulateur de  $\mathcal{O}$ . Notons  $n_0 = 2$  si  $\mathcal{O}$  contient une unité de norme  $-1$ , et 1 sinon.

**Corollaire 1.4** *Quand  $t$  tend vers  $+\infty$ , nous avons*

$$\mathrm{Card} \left( \{ \alpha \in \mathrm{PSL}_2(\mathbb{Z}) \cdot \{ \alpha_0, \alpha_0^\sigma \} \bmod \mathbb{Z} : |\alpha - \alpha^\sigma|^{-1} \leq t \} \right) \sim \frac{24 R_0}{\pi^2 n_0} t .$$

Nous renvoyons aux parties 5.2 et 5.4 pour des résultats plus généraux (en particulier concernant le comptage d'irrationnels quadratiques dans les orbites de sous-groupes de congruence de  $\mathrm{PSL}_2(\mathbb{Z})$ ), et des résultats de comptage d'irrationnels quadratiques sur une extension quadratique imaginaire de  $\mathbb{Q}$  dans des orbites par les groupes de Bianchi  $\mathrm{PSL}_2(\mathcal{O}_{\mathbb{Q}(i\sqrt{d})})$ , dont un cas très particulier est le suivant.

**Corollaire 1.5** Soient  $\phi = \frac{1+\sqrt{5}}{2}$  le nombre d'or et  $K$  un corps de nombres quadratique imaginaire, d'anneau des entiers  $\mathcal{O}_K$ , de discriminant  $D_K$  et de fonction zéta  $\zeta_K$ . Quand  $t$  tend vers  $+\infty$ , nous avons

$$\text{Card}(\{\alpha \in \text{PSL}_2(\mathcal{O}_K) \cdot \phi \bmod \mathcal{O}_K : |\alpha - \alpha^\sigma|^{-1} \leq t\}) \sim \frac{8\pi^2 \log \phi}{|D_K| \zeta_K(2)} t^2$$

si  $D_K \neq -4$ , la moitié sinon.

Nous renvoyons à [PP2] pour d'autres applications arithmétiques, où nous donnons un équivalent précis du nombre de représentations propres non équivalentes d'entiers rationnels de valeur absolue au plus  $t$  par une forme hermitienne binaire entière indéfinie fixée.

Nous commençons cet article (partie 2) par un résultat de comptage en courbure négative, dont les hypothèses sur l'espace ambiant sont bien plus générales que celles du théorème 1.2, mais qui ne donne qu'un encadrement asymptotique au lieu d'un équivalent (voir le théorème 2.1). Nous démontrons une version un peu plus générale du théorème d'équidistribution 1.1 dans la partie 3, ainsi que comment déduire, d'un résultat d'équidistribution au niveau du fibré tangent unitaire, un résultat d'équidistribution dans la variété, y compris en courbure variable : les courbures principales des horosphères n'étant pas forcément constantes, des termes correcteurs remarquables apparaissent (voir le théorème 3.4). Dans la partie 4, nous démontrons, en utilisant les résultats d'équidistribution précédents, le résultat de comptage d'arcs géodésiques, et diverses variantes pour les orbifolds et les énoncés de cas particuliers utiles pour les applications arithmétiques.

Bien sûr, les résultats 1.3 et 1.4 ne sont pas indépendants : il existe une correspondance bien connue entre les réels irrationnels quadratiques et les formes quadratiques binaires indéfinies primitives ne représentant pas 0. Voir la partie 5.1 pour des rappels sur cette correspondance, ainsi que pour diverses interprétations algébriques de notre complexité  $|\alpha - \alpha^\sigma|^{-1}$ .

*Remerciements* : Nous remercions Pierre Pansu pour son aide dans la preuve des propositions 3.3 et 4.4, et K. Belabas pour des discussions fructueuses concernant les applications arithmétiques.

## 2 Sur le comptage des classes à droite d'un sous-groupe convexe-cocompact

Nous renvoyons par exemple à [Bou, BH] pour tout rappel concernant les espaces  $\text{CAT}(-1)$  et leurs groupes d'isométries. Nous reprenons pour le théorème 2.1 le cadre de travail de [PP1, Sect. 3], en modifiant quelques hypothèses, et en nous inspirant de [BHP, Theo. 1.1] et [HP, Theo. 3.4] pour les preuves. Si  $f$  et  $g$  sont deux applications d'un ensemble  $E$  dans  $\mathbb{R}$ , alors nous noterons  $f \asymp g$  s'il existe une constante  $c \geq 1$  telle que  $\frac{1}{c} f(t) \leq g(t) \leq c f(t)$  pour tout  $t$  dans  $E$ .

Soient  $X$  un espace métrique géodésique  $\text{CAT}(-1)$  propre, de bord à l'infini  $\partial_\infty X$ , et  $\Gamma$  un groupe discret d'isométries de  $X$ , d'exposant critique noté  $\delta = \delta_\Gamma$ . Rappelons que, pour tous  $x, y$  fixés dans  $X$ , si  $f_{\Gamma, x, y}(t) = \text{Card}\{\gamma \in \Gamma : d(x, \gamma y) \leq t\}$ , alors

$$\delta_\Gamma = \limsup_{t \rightarrow +\infty} \frac{1}{t} \log f_{\Gamma, x, y}(t).$$

Rappelons que la condition  $f_{\Gamma,x,y}(t) \asymp e^{\delta t}$  ne dépend pas des points  $x, y$ , et qu'elle est vérifiée par exemple si  $X/\Gamma$  est une variété riemannienne de volume fini [Mar1, Bou], voir [Pat, Sul, Rob] pour de nombreux cas plus généraux.

Notons  $\Lambda\Gamma \subset \partial_\infty X$  l'ensemble limite de  $\Gamma$ , et, lorsque  $\Lambda\Gamma$  contient au moins deux points, notons  $\mathcal{C}\Gamma \subset X$  l'enveloppe convexe de  $\Lambda\Gamma$ . Soit  $\Gamma_0$  un sous-groupe *convexe-cocompact* (c'est-à-dire tel que  $\Lambda\Gamma_0$  contienne au moins deux points et  $\mathcal{C}\Gamma_0/\Gamma_0$  soit compact), d'indice infini dans  $\Gamma$ . Notons  $\delta_0$  son exposant critique, qui est strictement inférieur à  $\delta$  (ceci est bien connu, voir par exemple [DOP, page 116]), et  $C_0 = \mathcal{C}\Gamma_0$ .

Soit  $C_\infty$  un convexe fermé non vide de  $X$ , de stabilisateur dans  $\Gamma$  noté  $\Gamma_\infty$ . Notons  $\delta_\infty$  l'exposant critique de  $\Gamma_\infty$ .

Supposons que  $C_\infty$  ne contienne pas  $\mathcal{C}\Gamma$ , que  $\Gamma_\infty \setminus \partial C_\infty$  soit compact, et que l'intersection de  $C_\infty$  et de  $\gamma C_0$  soit non vide seulement pour un ensemble fini de classes  $[\gamma]$  dans  $\Gamma_\infty \setminus \Gamma/\Gamma_0$ . Pour toute double classe  $[\gamma]$  dans  $\Gamma_\infty \setminus \Gamma/\Gamma_0$ , notons

$$D([\gamma]) = d(C_\infty, \gamma C_0) ,$$

ce qui ne dépend pas du représentant choisi.

Pour un exemple, on pourra prendre pour  $X$  un espace symétrique de courbure sectionnelle au plus  $-1$ , pour  $\Gamma$  un sous-groupe d'isométries de  $X$  de covolume fini, pour  $\Gamma_0$  le stabilisateur dans  $\Gamma$  de l'axe de translation dans  $X$  d'un élément hyperbolique de  $\Gamma$ , et pour  $C_\infty$  un point de  $X$  ou une horoboule de  $X$  centrée en un point fixe parabolique de  $\Gamma$ . Rappelons qu'alors  $\delta_\infty < \delta$ , et nous renvoyons à [Rob] pour de nombreux autres exemples où cette inégalité est vérifiée.

**Théorème 2.1** *Soient  $(X, \Gamma, \Gamma_0, C_\infty)$  comme ci-dessus, si  $f_{\Gamma,x,y}(t) \asymp e^{\delta t}$  et si  $\delta_\infty < \delta$ , alors*

$$\text{Card}\{r \in \Gamma_\infty \setminus \Gamma/\Gamma_0 : D(r) \leq t\} \asymp e^{\delta t} .$$

**Démonstration.** Soient  $x_\infty \in \partial C_\infty$ ,  $x_0 \in C_0$ ,  $F$  le sous-ensemble fini des  $[\gamma]$  dans  $\Gamma_\infty \setminus \Gamma/\Gamma_0$  tels que  $C_\infty \cap \gamma C_0$  soit non vide, et  $\mathcal{R} = \Gamma_\infty \setminus \Gamma/\Gamma_0 - F$ . Pour tout  $r$  dans  $\mathcal{R}$ , soit  $\gamma_r$  un représentant de la double classe  $r$  tel que

$$d(x_\infty, \gamma_r x_0) = \min_{\alpha \in \Gamma_\infty, \beta \in \Gamma_0} d(x_\infty, \alpha \gamma_r \beta x_0) .$$

Ce minimum existe, ainsi que

$$\eta = \min_{r \in \mathcal{R}} d(x_\infty, \gamma_r x_0) > 0 ,$$

car l'action de  $\Gamma$  sur l'espace propre  $X$  est proprement discontinue.

**Lemme 2.2** *Il existe  $c > 0$  tel que pour tout  $r \in \mathcal{R}$ , le segment géodésique  $[x_\infty, \gamma_r x_0]$  est à distance de Hausdorff au plus  $c$  du segment perpendiculaire commun entre  $C_\infty$  et  $\gamma_r C_0$ .*

**Démonstration.** Les espaces métriques quotients  $\Gamma_\infty \setminus \partial C_\infty$  et  $\Gamma_0 \setminus C_0$  sont compacts, par les hypothèses. Notons  $c' > 0$  le maximum de leurs diamètres.

Pour tout  $\gamma \in \Gamma$  tel que  $C_\infty \cap \gamma C_0 = \emptyset$ , notons  $[u_\gamma, v_\gamma]$  le segment perpendiculaire commun entre  $C_\infty$  et  $\gamma C_0$ , avec  $u_\gamma \in \partial C_\infty$ . Remarquons que, pour tous  $\alpha \in \Gamma_\infty$  et  $\beta \in \Gamma_0$ , nous avons alors  $u_{\alpha\gamma\beta} = \alpha u_\gamma$ ,  $v_{\alpha\gamma\beta} = \alpha v_\gamma$ , et

$$d(x_\infty, \alpha \gamma \beta x_0) = d(\alpha^{-1} x_\infty, \gamma \beta x_0) \leq d(\alpha^{-1} x_\infty, u_\gamma) + d(u_\gamma, v_\gamma) + d(v_\gamma, \gamma \beta x_0) .$$

Par définition de  $c'$ , pour tout  $[\gamma] \in \mathcal{R}$ , quitte à multiplier  $\gamma$  à gauche par un élément de  $\Gamma_\infty$  et à droite par un élément de  $\Gamma_0$ , ce qui ne change pas  $d(u_{\gamma_r}, v_{\gamma_r})$ , les distances  $d(x_\infty, u_\gamma)$  et  $d(v_\gamma, \gamma x_0)$  peuvent être rendues au plus  $c'$ . Donc  $d(x_\infty, \gamma_r x_0) \leq 2c' + d(u_{\gamma_r}, v_{\gamma_r})$  pour tout  $r \in \mathcal{R}$ .

Puisque  $X$  est CAT(-1), par convexité et disjonction de  $C_\infty$  et de  $C_0$ , il existe une constante  $c'' = c''(\eta)$  (ne dépendant que de  $\eta$ ) telle que pour tout  $[\gamma] \in \mathcal{R}$ , nous ayons

$$d(x_\infty, \gamma x_0) \geq d(x_\infty, u_\gamma) + d(u_\gamma, v_\gamma) + d(v_\gamma, \gamma x_0) - c'' . \quad (-1-)$$

En posant  $c = 2c' + c''$ , nous avons  $d(x_\infty, u_{\gamma_r}) \leq c$  et  $d(v_{\gamma_r}, \gamma_r x_0) \leq c$  pour tout  $r \in \mathcal{R}$ . Le résultat en découle, par convexité.  $\square$

Par l'inégalité triangulaire, il découle de ce lemme que

$$D(r) = d(C_\infty, \gamma_r C_0) \geq d(x_\infty, \gamma_r x_0) - 2c$$

pour tout  $r \in \mathcal{R}$ . Puisque  $f_{\Gamma, x_\infty, x_0}(n) \asymp e^{\delta n}$ , il existe donc une constante  $c_+ > 0$  telle que

$$\text{Card}\{r \in \mathcal{R} : D(r) \leq n\} \leq c_+ e^{\delta n}$$

pour tout  $n$  dans  $\mathbb{N}$ . Pour démontrer une minoration analogue du terme de gauche, nous commençons par un lemme élémentaire.

**Lemme 2.3** *Pour tous  $M \in \mathbb{N}$  et  $A, \delta, \delta' > 0$  où  $\delta > \delta'$ , il existe  $B > 0$  tel que pour toutes suites strictement positives  $(a_n)_{n \in \mathbb{N}}, (b_n)_{n \in \mathbb{N}}, (c_n)_{n \in \mathbb{N}}$  vérifiant, pour tout  $n$  dans  $\mathbb{N}$ , que  $b_n, c_n \leq A e^{\delta' n}$ ,  $a_n \leq A e^{\delta n}$  et  $\sum_{k+\ell+m=n}^{n+M} a_k b_\ell c_m \geq \frac{1}{A} e^{\delta n}$ , on ait  $\sum_{k=0}^n a_k \geq B e^{\delta n}$ .*

**Démonstration.** Les séries positives  $\sum e^{(\delta' - \delta)k}$  et  $\sum k e^{(\delta' - \delta)k}$  sont convergentes, notons  $S$  et  $S'$  leur somme. Soient  $n, N \geq 1$  des entiers. Alors

$$\begin{aligned} \sum_{k=0}^n \sum_{\ell+m=n+N-k}^{n+N-k+M} a_k b_\ell c_m &\leq \sum_{k=0}^n \sum_{\ell+m=n+N-k}^{n+N-k+M} A e^{\delta k} A e^{\delta' \ell} A e^{\delta' m} \\ &\leq (M+1) A^3 \sum_{k=0}^n (n+N-k+M+1) e^{\delta k + \delta'(n+N-k+M)} \\ &\leq (M+1) A^3 e^{\delta'(N+M)} (S(N+M+1) + S') e^{\delta n} . \end{aligned}$$

De plus, en posant  $B' = (M+1)(N+M)A^2 e^{\delta'(N+M)} > 0$ , nous avons

$$\begin{aligned} B' \sum_{k=n+1}^{n+N+M} a_k &\geq \sum_{k=n+1}^{n+N+M} \sum_{\ell+m=n+N-k}^{n+N-k+M} a_k b_\ell c_m \\ &= \sum_{k+\ell+m=n+N}^{n+N+M} a_k b_\ell c_m - \sum_{k=0}^n \sum_{\ell+m=n+N-k}^{n+N-k+M} a_k b_\ell c_m \\ &\geq \frac{1}{A} e^{\delta(n+N)} - (M+1) A^3 e^{\delta'(N+M)} (S(N+M+1) + S') e^{\delta n} . \end{aligned}$$

Fixons  $N$  assez grand tel que  $B'' = \frac{1}{A} e^{\delta N} - (M+1) A^3 e^{\delta'(N+M)} (S(N+M+1) + S') > 0$ , ce qui est possible car  $\delta > \delta'$ . Alors pour tout  $n \geq N+M$ ,

$$\sum_{k=0}^n a_k \geq \frac{B'' e^{\delta(n-N-M)}}{B'} .$$

Le résultat en découle. □

Montrons maintenant qu'il existe  $c_- > 0$  tel que

$$\text{Card}\{r \in \mathcal{R} : D(r) \leq n\} \geq c_- e^{\delta n}$$

pour tout  $n$  dans  $\mathbb{N}$ . Soit  $\delta' > 0$  tel que  $\max\{\delta_\infty, \delta_0\} < \delta' < \delta$ . En particulier,

$$b_n = \text{Card}\{\alpha \in \Gamma_\infty : n \leq d(x_\infty, \alpha x_\infty) < n + 1\}$$

et

$$c_n = \text{Card}\{\beta \in \Gamma_0 : n \leq d(x_0, \beta x_0) < n + 1\}$$

sont des  $o(e^{\delta' n})$ , par définition d'un exposant critique.

Puisque  $f_{\Gamma, x_\infty, x_0}(n) \asymp e^{\delta n}$  et puisque  $F$  est fini, il existe donc, par un argument de série géométrique,  $A' > 0$  et  $T > 0$  tels que, pour tout  $t$  dans  $\mathbb{R}$ ,

$$g(t) = \text{Card}\{(\alpha, \beta, r) \in \Gamma_\infty \times \Gamma_0 \times \mathcal{R} : t \leq d(x_\infty, \alpha \gamma_r \beta x_0) \leq t + T\} \geq A' e^{\delta t}.$$

Soit  $(\alpha, \beta, r) \in \Gamma_\infty \times \Gamma_0 \times \mathcal{R}$ . Par le lemme 2.2, nous avons

$$\begin{aligned} d(x_\infty, \alpha \gamma_r \beta x_0) &\leq d(\alpha^{-1} x_\infty, x_\infty) + d(x_\infty, \gamma_r x_0) + d(x_0, \beta x_0) \\ &\leq d(x_\infty, \alpha x_\infty) + D(r) + d(x_0, \beta x_0) + 2c \end{aligned}$$

et, par la formule (-1-) puis par le lemme 2.2,

$$\begin{aligned} d(x_\infty, \alpha \gamma_r \beta x_0) &\geq d(x_\infty, \alpha u_{\gamma_r}) + d(u_{\gamma_r}, v_{\gamma_r}) + d(v_{\gamma_r}, \gamma_r \beta x_0) - c'' \\ &\geq d(x_\infty, \alpha x_\infty) + D(r) + d(x_0, \beta x_0) - 2c - c''. \end{aligned}$$

Posons

$$a_n = \text{Card}\{r \in \mathcal{R} : n \leq D(r) < n + 1\} \leq c_+ e^{\delta(n+1)}.$$

Si  $n + 2c + 3 \leq d(x_\infty, \alpha \gamma_r \beta x_0) \leq n + 2c + 3 + T$ , nous avons donc, en notant les parties entières  $k = E[D(r)]$ ,  $\ell = E[d(x_\infty, \alpha x_\infty)]$ ,  $m = E[d(x_0, \beta x_0)]$ ,

$$k + \ell + m \geq D(r) + d(x_\infty, \alpha x_\infty) + d(x_0, \beta x_0) - 3 \geq d(x_\infty, \alpha \gamma_r \beta x_0) - 2c - 3 \geq n$$

et

$$k + \ell + m \leq D(r) + d(x_\infty, \alpha x_\infty) + d(x_0, \beta x_0) \leq d(x_\infty, \alpha \gamma_r \beta x_0) + 2c + c'' \leq n + M,$$

où  $M = E[4c + c'' + 3 + T] + 1$ . Donc par un argument de comptage, pour tout  $n \in \mathbb{N}$ , nous avons

$$g(n + 2c + 3) \leq \sum_{k+\ell+m=n}^{n+M} a_k b_\ell c_m.$$

Ceci entraîne que  $\sum_{k+\ell+m=n}^{n+M} a_k b_\ell c_m \geq A' e^{\delta(n+2c+3)}$  pour tout  $n \in \mathbb{N}$ . Le résultat découle alors du lemme 2.3, par définition de  $a_n$ . □

Sous des hypothèses bien plus restrictives sur  $(X, \Gamma)$ , le théorème 2.1 peut être amélioré. Nous raisonnerons comme dans [EM] en trois étapes, en montrant un résultat d'équidistribution, un résultat de comptage asymptotique, et l'amélioration résultera alors de calculs de volumes de voisinages tubulaires.

### 3 Équidistribution des hypersurfaces équidistantes

Soit  $M$  une variété riemannienne lisse complète de dimension  $n \geq 2$ . Nous noterons  $\mathcal{V}_\epsilon A$  le  $\epsilon$ -voisinage ouvert d'une partie  $A$  de  $M$ .

Nous noterons  $d\text{vol}_M$  la mesure riemannienne de  $M$  et  $\text{Vol}(M)$  son volume total. Lorsque  $\text{Vol}(M)$  est fini, nous appellerons *moyenne riemannienne* sur  $M$  la mesure de probabilité sur  $M$  égale à  $\frac{1}{\text{Vol}(M)} d\text{vol}_M$ . Nous noterons  $\oint \varphi d\text{vol}_M$  la moyenne riemannienne d'une application  $\varphi \in \mathcal{C}_c(M)$  (à valeurs complexes, continue à support compact). Pour toute application mesurable  $f : M \rightarrow [0, +\infty[$ , lorsque l'intégrale  $\int_M f d\text{vol}_M$  est finie non nulle, nous appellerons *f-moyenne* de  $M$  la mesure de probabilité  $\frac{f d\text{vol}_M}{\int_M f d\text{vol}_M}$  sur  $M$ .

Notons  $\pi : T^1M \rightarrow M$  le fibré tangent unitaire de  $M$  et  $(g^t)_{t \in \mathbb{R}}$  le flot géodésique sur  $T^1M$ . Pour tout  $v \in T^1M$ , notons  $\gamma_v(t)$  la géodésique de  $M$  telle que  $\dot{\gamma}_v(0) = v$ . Munissons  $T^1M$  de la métrique riemannienne usuelle (dite de Sasaki), qui fait de  $\pi$  une submersion riemannienne. Rappelons que la mesure riemannienne  $d\text{vol}_{T^1M}$ , appelée *mesure de Liouville*, se désintègre par  $\pi$  en

$$d\text{vol}_{T^1M} = \int_{x \in M} d\text{vol}_{T_x^1M} d\text{vol}_M(x),$$

où  $d\text{vol}_{T_x^1M}$  est la mesure sphérique sur la fibre  $T_x^1M$  de  $\pi$  au-dessus de  $x \in M$ . En particulier,

$$\text{Vol}(T^1M) = \text{Vol}(\mathbb{S}_{n-1}) \text{Vol}(M). \quad (-2-)$$

Nous appellerons *moyenne de Liouville* la mesure de Liouville normalisée pour être de probabilité.

Soit  $\iota : M' \rightarrow M$  une immersion lisse d'une variété lisse  $M'$  dans  $M$ . Nous munirons  $M'$  de sa structure de variété riemannienne lisse image réciproque par  $\iota$ . Nous noterons encore par abus  $d\text{vol}_{M'}$  la mesure sur  $M'$  image par l'immersion  $\iota$  de la mesure riemannienne de  $M'$  (et de même pour les moyennes et  $f'$ -moyennes où  $f' : M' \rightarrow [0, +\infty[$  est mesurable).

Nous noterons  $\pi_\perp : \nu^1M' \rightarrow M'$  le fibré normal unitaire de  $M'$  dans  $M$  (pour tout  $x \in M'$ , nous avons  $\nu_x^1M' = T_{\iota(x)}^1M \cap (T\iota(T_xM'))^\perp$ ) et  $\iota_\perp : \nu^1M' \rightarrow T^1M$  l'immersion naturelle. Si  $M'$  est connexe, de codimension  $p$  dans la composante connexe de  $M$  contenant  $M'$ , alors  $\nu^1M'$  est connexe si et seulement si  $p \neq 1$ . De plus, si  $p = 1$ , alors  $\nu^1M'$  admet exactement deux composantes connexes. Pour tout ouvert  $\Sigma$  de  $\nu^1M'$ , nous noterons par abus  $g^t\Sigma$  la sous-variété lisse immergée de  $T^1M$ , poussée, par le flot géodésique au temps  $t$ , de l'image de  $\Sigma$  dans  $T^1M$  par  $\iota_\perp$ .

Si  $M'$  est une hypersurface immergée lisse strictement convexe de  $M$ , nous noterons  $N_+ : M' \rightarrow T^1M$  (resp.  $N_- : M' \rightarrow T^1M$ ) l'application de Gauss sortante (resp. rentrante) de  $M'$ , qui à  $x \in M'$  associe le vecteur normal sortant (respectivement rentrant) à  $M'$  en l'image dans  $M$  de  $x$ , et  $N_+M'$  (respectivement  $N_-M'$ ) la sous-variété immergée dans  $T^1M$ , image de l'application de Gauss correspondante.

Nous commençons par un lemme de courbure négative.

**Lemme 3.1** *Soit  $X$  une variété riemannienne lisse complète simplement connexe, à courbure sectionnelle au plus  $-1$ . Soit  $K$  un convexe fermé de  $X$  de bord  $\partial K$  une sous-variété de classe  $C^1$ . Soit  $v$  un vecteur tangent unitaire d'origine un point de  $\partial K$  et d'angle au*

plus  $\epsilon \in [0, \frac{\pi}{2}[$  avec une normale sortante en ce point. Alors, pour  $t > 0$ , le point  $y \in \partial K$  le plus proche de  $\gamma_v(t)$  est à distance au plus  $\operatorname{argtanh}(\sin \epsilon)$  du point  $x = \gamma_v(0)$ . De plus, si  $t' = d(y, \gamma_v(t))$ , si  $v'$  est le vecteur tangent unitaire normal sortant de  $K$  en  $y$ , alors l'angle  $\alpha$  entre les vecteurs  $\dot{\gamma}_{v'}(t')$  et  $\dot{\gamma}_v(t)$  au point  $\gamma_v(t)$  vérifie  $\sin \alpha \leq \frac{\sinh(\operatorname{argtanh}(\sin \epsilon))}{\sinh t}$ .

**Démonstration.** Supposons que  $x \neq y$  et notons  $z = \gamma_v(t)$ . Considérons le triangle  $\bar{x}, \bar{y}, \bar{z}$  de comparaison dans  $\mathbb{H}_{\mathbb{R}}^2$  du triangle de  $X$  de sommets  $x, y, z$ , dont l'angle  $\theta$  en  $\bar{x}$  est au moins  $\frac{\pi}{2} - \epsilon$  et celui en  $\bar{y}$  au moins  $\frac{\pi}{2}$ . Notons  $L$  la géodésique de  $\mathbb{H}_{\mathbb{R}}^2$  passant par  $\bar{x}$  et  $\bar{y}$ . Alors, le point  $\bar{y}' \in L$  le plus proche de  $\bar{z}$  satisfait  $d(x, y) = d(\bar{x}, \bar{y}) \leq d(\bar{x}, \bar{y}') = \ell$ . Notons  $t' = d(\bar{z}, \bar{y}')$ . Alors par les formules des triangles hyperboliques [Bea, p. 145], nous avons  $\cosh t = \cosh t' \cosh \ell$  et

$$\cosh t' = \cosh t \cosh \ell - \sinh t \sinh \ell \cos \theta \geq \cosh t (\cosh \ell - \sinh \ell \sin \epsilon) .$$

Donc  $\cosh \ell (\cosh \ell - \sinh \ell \sin \epsilon) \leq 1$  et  $\ell \leq \operatorname{argtanh}(\sin \epsilon)$ , d'où le premier résultat. Le second en découle, toujours par comparaison, par la formule des sinus hyperboliques [Bea, p. 148].  $\square$

Le résultat suivant fournit, dans le fibré unitaire tangent, un théorème d'équidistribution, quand  $t$  tend vers  $+\infty$ , de l'image par le flot géodésique au temps  $t$  du fibré normal unitaire d'une sous-variété immergée de volume fini totalement géodésique.

**Théorème 3.2** *Soit  $M$  une variété hyperbolique connexe de volume fini, de dimension au moins 2. Soit  $C$  une sous-variété immergée de  $M$ , connexe, totalement géodésique et de volume fini. Soit  $\Sigma$  une union de composantes connexes du fibré normal unitaire de  $C$ . Alors la moyenne riemannienne sur  $g^t \Sigma$  converge vaguement vers la moyenne de Liouville quand  $t \rightarrow +\infty$  :*

$$\forall \varphi \in \mathcal{C}_c(T^1 M), \quad \lim_{t \rightarrow +\infty} \oint \varphi \, d\operatorname{vol}_{g^t \Sigma} = \oint \varphi \, d\operatorname{vol}_{T^1 M} .$$

**Démonstration.** Le volume de la sous-variété immergée  $g^t \Sigma$  de  $T^1 M$ , pour la métrique riemannienne induite, est fini, car  $C$  est de volume fini et l'application canonique  $g^t \Sigma \rightarrow C$  contracte l'élément de volume d'au plus une constante ne dépendant que de  $t, k, n$ , par homogénéité. Nous pouvons donc considérer la moyenne riemannienne sur  $g^t \Sigma$ .

Soient  $\widetilde{M} \rightarrow M$  et  $\widetilde{C} \rightarrow C$  des revêtements universels riemanniens. Le relevé  $\tilde{\iota} : \widetilde{C} \rightarrow \widetilde{M}$  de l'immersion  $\iota : C \rightarrow M$  est un plongement lisse sur un sous-espace hyperbolique encore noté  $\widetilde{C}$  de l'espace hyperbolique  $\widetilde{M}$ . Notons  $G_{\widetilde{C}}$  le groupe des isométries de  $\widetilde{M}$  préservant  $\widetilde{C}$ . Il agit transitivement sur le fibré normal unitaire  $\nu^1 \widetilde{C}$ , et commute avec l'action du flot géodésique sur  $T^1 \widetilde{M}$ .

Pour tout  $\eta \in ]0, \frac{\pi}{2}[$ , notons  $\widetilde{V}_\eta$  l'ouvert  $G_{\widetilde{C}}$ -invariant de  $T^1 \widetilde{M}$  formé des vecteurs  $w \in T^1 \widetilde{M}$  tels qu'il existe  $s \in ]0, \eta[$  et  $v \in \nu^1 \widetilde{C}$  tels que les vecteurs  $w$  et  $\dot{\gamma}_v(s)$  aient même origine et soient d'angle strictement inférieur à  $\eta$ . L'application  $\widetilde{P} : w \mapsto v$  ainsi définie est une fibration lisse  $G_{\widetilde{C}}$ -équivariante de  $\widetilde{V}_\eta$  sur  $\nu^1 \widetilde{C}$ . Notons  $\Gamma_C$  l'intersection de  $G_{\widetilde{C}}$  et du groupe de revêtement de  $\widetilde{M} \rightarrow M$ . Par passage au quotient,  $\widetilde{P}$  induit une fibration  $P$  de  $\Gamma_C \backslash \widetilde{V}_\eta$  sur  $\nu^1 C$ . Notons  $\widetilde{U}_\eta$  la réunion de composantes connexes de  $\widetilde{V}_\eta$  telle que  $U_\eta = \Gamma_C \backslash \widetilde{U}_\eta$  soit l'ouvert immergé  $P^{-1}(\Sigma)$  de  $T^1 M$ . La mesure riemannienne de  $\widetilde{U}_\eta$  se désintègre par  $\widetilde{P}$  par rapport à la mesure riemannienne de  $\nu^1 \widetilde{C}$ , de mesures conditionnelles sur les fibres

finies et invariantes par  $G_{\tilde{C}}$ . Notons  $\chi_{U_\eta} : T^1M \rightarrow \mathbb{N}$  la fonction caractéristique (comptant avec multiplicité) de l'image de  $U_\eta$  dans  $T^1M$ . Puisque  $C$  est de volume fini, l'intégrale  $\int_{T^1M} \chi_{U_\eta}(v) d \text{vol}_{T^1M}(v) = \text{vol}(U_\eta)$  est finie.

Montrons que pour tout  $\eta' > 0$ , il existe  $\eta > 0$  tel que pour tout  $t > 0$ ,

$$g^t U_\eta \subset \mathcal{V}_{\eta'} g^t \Sigma.$$

En effet, par passage au quotient, il suffit de démontrer que  $g^t \tilde{U}_\eta \subset \mathcal{V}_{\eta'} g^t \tilde{\Sigma}$ , où  $\tilde{\Sigma}$  est la préimage de  $\Sigma$  dans  $\nu^1 \tilde{C}$ . Soient  $w \in \tilde{U}_\eta$ ,  $s \in ]0, \eta[$  et  $v \in \tilde{\Sigma}$  tels que  $\angle(w, \dot{\gamma}_v(s)) < \eta$ . Notons  $K$  l'adhérence de  $\mathcal{V}_s \tilde{C}$ , et  $v' \in \nu^1 \tilde{C}$  le vecteur tangent en l'origine du rayon géodésique normal à  $\tilde{C}$  passant par  $\gamma_w(t)$ , qui passe à l'instant  $s$  par le point  $y$  de  $\partial K$  le plus proche de  $\gamma_w(t)$ . Remarquons que  $v'$  appartient aussi à  $\tilde{\Sigma}$ . Par le lemme 3.1, si  $\eta$  est suffisamment petit, alors  $g^t w$  fait un angle petit avec  $g^{t'+s} v'$  où  $|t - t' - s| \leq d(y, \gamma_v(0)) + \eta$  est petit, uniformément en  $t$  et  $w$ , donc est uniformément près de  $g^t \Sigma$ .

Soit  $\varphi$  une fonction continue à support compact sur  $T^1M$ , qui est donc uniformément continue. Si  $\eta$  est assez petit, par homogénéité, la moyenne de  $\varphi$  sur  $g^t \Sigma$  est donc proche de sa moyenne sur l'ouvert immergé  $g^t U_\eta$ , uniformément en  $t > 0$ . Cette dernière moyenne est égale à

$$\frac{\int_{T^1M} \chi_{U_\eta}(v) \varphi(g^{-t}v) d \text{vol}_{T^1M}(v)}{\int_{T^1M} \chi_{U_\eta}(v) d \text{vol}_{T^1M}(v)}$$

par invariance de la mesure de Liouville par le flot géodésique. Elle converge donc quand  $t$  tend vers  $+\infty$ , par la propriété de mélange du flot géodésique pour la mesure de Liouville, vers

$$\frac{\int_{T^1M} \varphi(v) d \text{vol}_{T^1M}(v)}{\text{Vol}(T^1M)},$$

qui est la moyenne riemannienne de  $\varphi$  sur  $T^1M$ . □

Le théorème précédent est un résultat d'équidistribution au niveau du fibré unitaire tangent  $T^1M$ . Lorsque l'on veut en déduire des propriétés d'équidistribution dans la variété  $M$  elle-même, des phénomènes surprenants apparaissent, lorsque la courbure est variable.

Nous n'avons pas trouvé de référence pour le résultat général ci-dessous de géométrie riemannienne, connu des spécialistes des sous-variétés. Il généralise la remarque suivante : le cercle de centre 0 et de rayon  $r$  dans le plan euclidien  $\mathbb{R}^2$  s'envoie par la normale sortante dans  $T\mathbb{R}^2 = \mathbb{R}^2 \times \mathbb{R}^2$  par l'application  $\psi : re^{i\theta} \mapsto (re^{i\theta}, e^{i\theta})$  et l'élément de longueur  $\sqrt{r^2 + 1} d\theta$  sur l'image du cercle diffère de l'image par  $\psi$  de l'élément de longueur  $r d\theta$  du cercle par  $\sqrt{1 + \kappa^2}$  où  $\kappa = 1/r$  est la courbure du cercle.

**Proposition 3.3** *Soient  $M$  une variété riemannienne lisse de dimension  $n + 1$ ,  $L$  une hypersurface lisse de  $M$ ,  $N$  un champ de vecteurs unitaires lisse orthogonal le long de  $L$ ,  $\mu$  la mesure riemannienne sur  $L$ , et  $\nu$  la mesure riemannienne sur l'image du plongement lisse de Gauss  $\psi : L \rightarrow T^1M$  (défini par  $\psi(x) = N(x)$  pour tout  $x$  dans  $L$ ). Alors  $\psi_*\mu$  et  $\nu$  sont absolument continues l'une par rapport à l'autre et*

$$\forall x \in L, \quad \frac{d\nu}{d\psi_*\mu}(\psi(x)) = \prod_{i=1}^n (1 + \kappa_i(x)^2)^{1/2},$$

où  $\kappa_1(x), \dots, \kappa_n(x)$  sont les courbures principales de l'hypersurface  $L$  en  $x$ .

Rappelons que les courbures principales sont bien définies à l'ordre près, et qu'elles sont changées en leurs opposés si  $N$  est remplacé par  $-N$ . Le produit ci-dessus est bien invariant par permutation et par changement de signe des  $\kappa_i(x)$ . L'absolue continuité des mesures est immédiate, elles sont dans la classe de Lebesgue de la sous-variété lisse  $\psi(L)$ .

**Démonstration.** Le problème étant local, nous pouvons supposer que  $M$  est un voisinage suffisamment petit d'un point de  $L$ . Le champ de vecteurs unitaires  $N$  le long de  $L$  s'étend donc en un champ de vecteurs unitaires lisse sur  $M$ , que nous noterons encore  $N : M \rightarrow TM$ . Notons  $p : TM \rightarrow M$  la projection canonique et  $\nabla$  la connexion riemannienne de  $M$ . Rappelons que le fibré tangent de  $TM$  est somme directe  $TTM = V \oplus H$  de deux sous-fibrés, dits vertical et horizontal, orthogonaux pour la métrique riemannienne de  $TM$ , tels que, si  $\pi_V : TTM \rightarrow V$  est la projection orthogonale sur le facteur vertical, alors pour tout  $v \in TM$ ,

- $Tp|_{H_v} : H_v \rightarrow T_{p(v)}M$ , la restriction à  $H_v$  de l'application tangente de  $p$ , est un isomorphisme linéaire isométrique,
- $V_v = \text{Ker } T_v p = T_v(T_{p(v)}M) = T_{p(v)}M$ , et le produit scalaire induit sur  $V_v$  par la métrique riemannienne de  $TM$  est égal au produit scalaire sur  $T_{p(v)}M$ ,
- pour tout champ de vecteurs  $X : M \rightarrow TM$  sur  $M$ ,

$$\nabla_v X = \pi_V \circ TX(v) .$$

Rappelons que l'opérateur de seconde forme fondamentale (pour le choix de la normale  $N$ ) de  $L$  est l'endomorphisme  $S$  du fibré  $TL$  défini (avec des conventions de signes variant suivant les références) par  $S(v) = \nabla_v N$  pour tout  $v \in TL$ . Comme  $\psi$  est la restriction de  $N$  à  $L$ , et  $T\psi$  celle de  $TN$  à  $TL$ , nous avons donc  $\pi_V \circ T\psi = S$ . Comme  $p \circ \psi = \text{id}_L$ , nous avons  $Tp \circ T\psi = \text{id}_{TL}$ . Donc en notant  $g^{TM}$  et  $g^L$  les tenseurs de métriques riemanniennes sur  $TM$  et  $L$ , nous avons la formule bien connue

$$\psi^* g^{TM} = g^L + S^* g^L .$$

Par définition des courbures principales en un point  $x$  de  $L$ , l'opérateur  $S$  est, sur  $T_x L$ , un endomorphisme symétrique  $S(x)$  diagonalisable en base orthonormée (pour le produit scalaire  $g_x^L$ ) de valeurs propres égales aux courbures principales. Donc, pour tout  $x$  dans  $L$ , puisqu'en coordonnées locales, l'élément de volume est la racine carrée du déterminant de la métrique,

$$d \text{vol}_{\psi^* g^{TM}}(x) = \sqrt{\det(\text{id} + S(x)^* S(x))} d \text{vol}_{g^L}(x) = \left( \prod_{i=1}^n (1 + \kappa_i(x)^2) \right)^{1/2} d \text{vol}_{g^L}(x) .$$

Le résultat en découle. □

Soit  $M$  une variété riemannienne lisse de dimension  $n \geq 2$  et à courbure sectionnelle strictement négative. Pour tout  $v \in T^1 M$ , notons  $\mathcal{F}_{su}(v)$  le germe de feuille en  $v$  du feuilletage fortement instable de  $T^1 M$  pour le flot géodésique. Notons  $\kappa_1(v), \dots, \kappa_{n-1}(v)$  les courbures principales en  $\pi(v)$  du germe d'hypersurface  $\pi(\mathcal{F}_{su}(v))$  de  $M$ . Notons  $\kappa = \kappa_M : T^1 M \rightarrow ]0, +\infty[$  l'application définie par

$$\kappa(v) = \prod_{i=1}^{n-1} (1 + \kappa_i(v)^2)^{\frac{1}{2}} .$$

Rappelons que si  $\tilde{\pi} : \widetilde{M} \rightarrow M$  est un revêtement riemannien universel de  $M$ , alors les feuilles du feuilletage fortement instable de  $T^1M$  sont les images par  $T\tilde{\pi}$  des sous-variétés  $N_+H$  de  $T^1\widetilde{M}$  lorsque  $H$  parcourt l'ensemble des horosphères de  $\widetilde{M}$ . De plus, si  $X$  est un espace symétrique à courbure strictement négative, pour toute horosphère  $H$  de  $X$ , le groupe des isométries de  $X$  fixant le point à l'infini de  $H$  agit transitivement sur  $H$ . Donc si  $M$  est localement symétrique, alors l'application  $\kappa : T^1M \rightarrow ]0, +\infty[$  est constante. Il serait d'ailleurs intéressant de savoir si les seules variétés riemanniennes  $M$  lisses compactes à courbure sectionnelle strictement négative, dont la fonction  $\kappa_M$  est constante, sont localement symétriques.

**Théorème 3.4** *Soit  $M$  une variété riemannienne lisse complète, de volume fini, de dimension au moins 2 et de courbure sectionnelle pincée au plus  $-1$ . Soit  $\Sigma'$  une hypersurface lisse proprement immergée strictement convexe de volume fini, telle que la moyenne riemannienne sur  $g^tN_+\Sigma'$  converge vaguement vers la moyenne de Liouville. Pour toute fonction  $\varphi$  continue à support compact dans  $M$ , la  $(\kappa \circ N_+)$ -moyenne de  $\varphi$  sur  $\pi(g^tN_+\Sigma')$  converge vers la moyenne riemannienne de  $\varphi$  sur  $M$  quand  $t \rightarrow +\infty$ .*

Notons que lorsque  $\kappa$  est constante (par exemple lorsque  $M$  est localement symétrique), la  $(\kappa \circ N_+)$ -moyenne est égale à la moyenne riemannienne; dans ce cas, la conclusion du théorème dit que la moyenne riemannienne de  $\varphi$  sur  $\pi(g^tN_+\Sigma')$  converge vers la moyenne riemannienne de  $\varphi$  sur  $M$  quand  $t \rightarrow +\infty$ .

Par le théorème 3.2, le théorème 1.1 de l'introduction en découle. En effet, si  $C$  et  $\Sigma$  vérifient les hypothèses du théorème 3.2, posons  $\Sigma' = \pi(g^1\Sigma)$ , qui est une hypersurface immergée lisse strictement convexe de volume fini. Puisque  $C$  est totalement géodésique, le rayon d'injectivité d'un point de  $C$  dans  $C$  est supérieur ou égal à celui dans  $M$ . Donc l'immersion de  $C$  dans  $M$  est propre. Par conséquent, l'immersion lisse de  $\Sigma'$  dans  $T^1M$  est propre. Le résultat découle alors du fait que  $g^t\Sigma = g^{t-1}N_+\Sigma'$  pour tout  $t \geq 1$ .

**Démonstration.** Pour tout  $t > 0$ , notons  $\Sigma(t) = \pi(g^tN_+\Sigma')$ , qui est une hypersurface lisse proprement immergée strictement convexe de  $M$  de volume fini. En particulier, les moyennes riemanniennes sur  $\Sigma(t)$  et  $g^tN_+\Sigma'$  sont bien définies. Pour tout  $t > 1$ , notons  $\kappa'_1(x), \dots, \kappa'_{n-1}(x)$  les courbures principales en un point  $x$  de  $\Sigma(t)$  (pour la normale sortante). Posons alors

$$\kappa'_t(x) = \prod_{i=1}^{n-1} (1 + \kappa'_i(x)^2)^{1/2}.$$

**Étape 1.** Montrons tout d'abord que, pour tout  $\varphi \in \mathcal{C}_c(M)$ , la  $\kappa'_t$ -moyenne de  $\varphi$  sur  $\Sigma(t)$  converge vers la moyenne riemannienne de  $\varphi$  sur  $M$  quand  $t \rightarrow +\infty$ .

Soit  $\psi : x \mapsto N_+(x)$  l'application de Gauss de  $\Sigma(t)$  définie par la normale sortante  $N_+$ . Puisque  $\pi \circ \psi = \text{id}_{\Sigma(t)}$ , pour tout  $x$  dans  $\Sigma(t)$ , nous avons, par la proposition 3.3,

$$\frac{d\pi_* \text{vol}_{g^tN_+\Sigma'}}{d\text{vol}_{\Sigma(t)}}(x) = \frac{d\pi_* \text{vol}_{g^tN_+\Sigma'}}{d\pi_* \psi_* \text{vol}_{\Sigma(t)}}(\pi \circ \psi(x)) = \frac{d\text{vol}_{g^tN_+\Sigma'}}{d\psi_* \text{vol}_{\Sigma(t)}}(\psi(x)) = \kappa'_t(x).$$

Donc,

$$\begin{aligned} \int_{\Sigma(t)} \varphi \kappa'_t d \text{vol}_{\Sigma(t)} &= \int_{\Sigma(t)} \varphi \frac{d\pi_* \text{vol}_{g^t N_+ \Sigma'}}{d \text{vol}_{\Sigma(t)}} d \text{vol}_{\Sigma(t)} = \int_{\Sigma(t)} \varphi d\pi_* \text{vol}_{g^t N_+ \Sigma'} \\ &= \int_{g^t N_+ \Sigma'} \varphi \circ \pi d \text{vol}_{g^t N_+ \Sigma'} . \end{aligned}$$

En particulier, en prenant une suite exhaustive  $(K_n)_{n \in \mathbb{N}}$  de compacts de  $M$ , et  $\varphi : M \rightarrow [0, 1]$  une application continue constante égale à 1 sur  $K_n$  et nulle sur  ${}^c K_{n+1}$ , et en faisant tendre  $n$  vers  $+\infty$ , la convergence étant assurée par l'hypothèse de pincement de la courbure, la finitude du volume de  $\Sigma(t)$  et le théorème de convergence dominée de Lebesgue, nous avons

$$\int_{\Sigma(t)} \kappa'_t d \text{vol}_{\Sigma(t)} = \text{Vol}(g^t N_+ \Sigma') .$$

Or par l'hypothèse,

$$\lim_{t \rightarrow +\infty} \oint_{g^t N_+ \Sigma'} \varphi \circ \pi d \text{vol}_{g^t N_+ \Sigma'} = \oint_{T^1 M} \varphi \circ \pi d \text{vol}_{T^1 M} = \frac{1}{\text{Vol}(M)} \int_M \varphi d \text{vol}_M ,$$

car les mesures conditionnelles de  $d \text{vol}_{T^1 M}$  sur les fibres de  $T^1 M \rightarrow M$  ont une masse totale constante. Ceci conclut la première étape de cette démonstration.

**Étape 2.** Montrons maintenant que, pour tout  $\varphi \in \mathcal{C}_c(M)$ , la  $(\kappa \circ N_+)$ -moyenne de  $\varphi$  sur  $\Sigma(t)$  converge aussi vers la moyenne riemannienne de  $\varphi$  sur  $M$  quand  $t \rightarrow +\infty$ .

Notons que  $\kappa \circ N_+$  est mesurable borné, car  $M$  est à courbure pincée. Donc la  $(\kappa \circ N_+)$ -moyenne de  $\Sigma(t)$  est bien définie. Quitte à décomposer  $\varphi$  en partie positive et partie négative, nous pouvons supposer que  $\varphi \geq 0$ . Soient  $\epsilon \in ]0, 1[$  et  $K$  un compact de  $M$ , contenant le support de  $\varphi$ , tels que  $\text{Vol}({}^c K) \leq \frac{\epsilon}{4} \text{Vol}(M)$ .

Soit  $\tilde{x}$  un point d'un revêtement riemannien universel  $\widetilde{M}$  de  $M$ . Pour tout  $t > 0$ , soit  $\widetilde{C}_t$  une hypersurface lisse strictement convexe plongée dans  $\widetilde{M}$  telle que  $\tilde{x} \in \partial \mathcal{V}_t(\widetilde{C}_t)$ . Notons  $N(\tilde{x}, t)$  le vecteur unitaire normal sortant de  $\mathcal{V}_t(\widetilde{C}_t)$  en  $\tilde{x}$ . Soit  $H_t$  l'horosphère de  $\widetilde{M}$  passant par  $\tilde{x}$  et de vecteur unitaire normal sortant en  $\tilde{x}$  égal à  $N(\tilde{x}, t)$ . Alors  $H_t$  et  $\partial \mathcal{N}_t(\widetilde{C}_t)$  ont quand  $t$  tend vers  $+\infty$  une tangence à l'ordre deux, uniformément quand  $\tilde{x}$  parcourt un compact de  $\widetilde{M}$ .

Par ce qui précède, si  $t$  est assez grand, alors pour tout  $x$  dans  $K \cap \Sigma(t)$ , nous avons

$$|\kappa \circ N_+(x) - \kappa'_t(x)| \leq \epsilon . \quad (-3-)$$

En particulier,

$$\left| \int \varphi \kappa \circ N_+(x) d \text{vol}_{\Sigma(t)} - \int \varphi \kappa'_t d \text{vol}_{\Sigma(t)} \right| \leq \epsilon \int \varphi d \text{vol}_{\Sigma(t)} \leq \epsilon \int \varphi \kappa'_t(x) d \text{vol}_{\Sigma(t)} ,$$

car  $\kappa'_t \geq 1$ , et donc

$$(1 - \epsilon) \int \varphi \kappa'_t(x) d \text{vol}_{\Sigma(t)} \leq \int \varphi \kappa \circ N_+ d \text{vol}_{\Sigma(t)} \leq (1 + \epsilon) \int \varphi \kappa'_t(x) d \text{vol}_{\Sigma(t)} . \quad (-4-)$$

Puisque la variété  $M$  n'est pas compacte, nous ne pouvons pas prendre  $\varphi = 1$  dans la formule précédente pour estimer (uniformément en  $t$ ) l'intégrale  $\int \kappa \circ N_+ d \text{vol}_{\Sigma(t)}$ , et nous avons besoin de montrer qu'il n'y a pas de phénomène de perte de masse à l'infini.

Fixons  $\varphi_K$  une fonction de  $M$  dans  $[0, 1]$ , continue à support compact contenu dans  $K$ , telle que  $\int \varphi_K d \text{vol}_M \geq \text{vol}(K) - \frac{\epsilon}{4} \text{Vol}(M)$ . En particulier,

$$\oint \varphi_K d \text{vol}_M \geq \frac{\text{Vol}(K)}{\text{Vol}(M)} - \frac{\epsilon}{4} \geq 1 - \frac{\epsilon}{2}.$$

Par l'étape 1 appliquée à  $\varphi_K$ , pour tout  $t$  assez grand, nous avons

$$\frac{\int \varphi_K \kappa'_t d \text{vol}_{\Sigma(t)}}{\int \kappa'_t d \text{vol}_{\Sigma(t)}} \geq \oint \varphi_K d \text{vol}_M - \frac{\epsilon}{2} \geq 1 - \epsilon.$$

Donc

$$\frac{\int_{cK} \kappa'_t d \text{vol}_{\Sigma(t)}}{\int \kappa'_t d \text{vol}_{\Sigma(t)}} = 1 - \frac{\int_K \kappa'_t d \text{vol}_{\Sigma(t)}}{\int \kappa'_t d \text{vol}_{\Sigma(t)}} \leq 1 - \frac{\int \varphi_K \kappa'_t d \text{vol}_{\Sigma(t)}}{\int \kappa'_t d \text{vol}_{\Sigma(t)}} \leq \epsilon. \quad (-5-)$$

Puisque  $K$  et  ${}^cK$  sont disjoints de réunion  $M$ , nous avons donc, par les inégalités (-5-) et (-3-), et puisque  $\kappa \geq 1$ ,

$$\begin{aligned} (1 - \epsilon) \int \kappa'_t d \text{vol}_{\Sigma(t)} &\leq \int_K \kappa'_t d \text{vol}_{\Sigma(t)} \leq \int_K \kappa \circ N_+ d \text{vol}_{\Sigma(t)} + \epsilon \int_K d \text{vol}_{\Sigma(t)} \\ &\leq (1 + \epsilon) \int_K \kappa \circ N_+ d \text{vol}_{\Sigma(t)} \leq (1 + \epsilon) \int \kappa \circ N_+ d \text{vol}_{\Sigma(t)}, \end{aligned}$$

c'est-à-dire

$$\frac{1 - \epsilon}{1 + \epsilon} \int \kappa'_t d \text{vol}_{\Sigma(t)} \leq \int \kappa \circ N_+ d \text{vol}_{\Sigma(t)}. \quad (-6-)$$

Montrons une comparaison analogue dans l'autre sens. Puisque  $\kappa'_t \geq 1$ , par l'inégalité (-5-), nous avons

$$\frac{\int_{cK} d \text{vol}_{\Sigma(t)}}{\int \kappa'_t d \text{vol}_{\Sigma(t)}} \leq \frac{\int_{cK} \kappa'_t d \text{vol}_{\Sigma(t)}}{\int \kappa'_t d \text{vol}_{\Sigma(t)}} \leq \epsilon. \quad (-7-)$$

Puisque la courbure sectionnelle de  $M$  est pincée, et par comparaison avec le cas à courbure constante, où les courbures principales des horosphères sont des constantes strictement positives, les courbures principales des horosphères de  $\widetilde{M}$  sont bornées. Il existe donc  $a \in [1, +\infty[$  tel que  $1 \leq \kappa \leq a$ .

D'où, respectivement par la positivité de  $\kappa'_t$ , par l'encadrement (-3-), puisque  $\kappa \geq 1$ , puisque  $M = K \sqcup {}^cK$ , puisque  $\kappa \leq a$ , et par l'inégalité (-7-), nous avons

$$\begin{aligned} \int \kappa'_t d \text{vol}_{\Sigma(t)} &\geq \int_K \kappa'_t d \text{vol}_{\Sigma(t)} \geq \int_K \kappa \circ N_+ d \text{vol}_{\Sigma(t)} - \epsilon \int_K d \text{vol}_{\Sigma(t)} \\ &\geq (1 - \epsilon) \int_K \kappa \circ N_+ d \text{vol}_{\Sigma(t)} \\ &= (1 - \epsilon) \int \kappa \circ N_+ d \text{vol}_{\Sigma(t)} - (1 - \epsilon) \int_{cK} \kappa \circ N_+ d \text{vol}_{\Sigma(t)} \\ &\geq (1 - \epsilon) \int \kappa \circ N_+ d \text{vol}_{\Sigma(t)} - (1 - \epsilon)a \int_{cK} d \text{vol}_{\Sigma(t)} \\ &\geq (1 - \epsilon) \int \kappa \circ N_+ d \text{vol}_{\Sigma(t)} - (1 - \epsilon)a\epsilon \int \kappa'_t d \text{vol}_{\Sigma(t)}. \end{aligned}$$

Par conséquent,

$$\int \kappa \circ N_+ d\text{vol}_{\Sigma(t)} \leq \frac{1 + (1 - \epsilon)a\epsilon}{1 - \epsilon} \int \kappa'_t d\text{vol}_{\Sigma(t)} . \quad (-8-)$$

La seconde étape découle alors, outre de l'étape 1, de l'encadrement (-4-) et des inégalités (-6-) et (-8-).  $\square$

Remarquons que dans ce résultat 3.4, la régularité de  $\Sigma'$  peut sans doute être affaiblie en  $C^1$ . En effet, celle-ci permet de définir l'application de Gauss (sortante)  $N_+$  continue et la moyenne riemannienne de  $\Sigma'$ , et si  $t > 0$ , l'hypersurface  $\Sigma(t) = \pi(g^t N_+ \Sigma')$  est  $C^{1,1}$  (voir par exemple [Walt]), donc ses courbures principales sont définies presque partout (pour la classe de mesure de Lebesgue). De plus,  $g^t N_+ \Sigma'$  est une sous-variété lipschitzienne, et sa moyenne riemannienne est encore définie.

## 4 Comptage d'arcs perpendiculaires communs

Le but de cette partie est de donner un équivalent précis, quand  $t$  tend vers  $+\infty$ , du nombre de rayons (localement) géodésiques partant perpendiculairement d'une sous-variété totalement géodésique et convergeant vers une pointe d'une variété hyperbolique de volume fini, de longueur (naturellement normalisée) au plus  $t$ .

Soit  $M$  une variété riemannienne lisse connexe, complète, de volume fini, de dimension  $n$  au moins 2 et de courbure sectionnelle au plus  $-1$ . Nous notons  $\pi : T^1 M \rightarrow M$  son fibré unitaire tangent et  $(g^t)_{t \in \mathbb{R}}$  le flot géodésique sur  $T^1 M$ . Nous munissons  $T^1 M$  de la métrique riemannienne de Sasaki.

Soit  $C$  une sous-variété immergée lisse de volume fini dans  $M$ , totalement géodésique, de dimension  $k \in [0, n-1]$ . Notons que  $C$  n'est pas supposée connexe. Par exemple,  $C$  peut être une union finie de points ( $k = 0$ ), ou une union finie de géodésiques fermées ( $k = 1$ ), pas forcément simples, et éventuellement parcourues plusieurs fois.

Une manière naturelle de normaliser la longueur d'un rayon géodésique sortant de tout compact de  $M$  est de ne compter sa longueur que jusqu'au dernier instant où il entre dans un petit voisinage prescrit d'un bout de  $M$ . Il existe une manière canonique de définir de tels voisinages (voir par exemple [BK, BGS]). Nous aurons besoin de leur définition pour n'importe quelle variété  $M'$  riemannienne lisse connexe, complète, de dimension  $n$  au moins 2 et de courbure sectionnelle au plus  $-1$ , qui est géométriquement finie (voir par exemple [Bow]). Rappelons qu'une *pointe* (*cusp* en anglais) de  $M'$  est une classe de rayons géodésiques minimisants asymptotes, le long desquels le rayon d'injectivité tend vers 0. Lorsque  $M'$  est de volume fini, l'ensemble des pointes de  $M'$  est en bijection avec l'ensemble des bouts de l'espace topologique localement compact  $M'$ , par l'application qui à un représentant d'une pointe associe le bout vers lequel il converge. Soit  $\tilde{\pi} : \tilde{M}' \rightarrow M'$  un revêtement universel riemannien de  $M'$ , de groupe de revêtement  $\Gamma$ . Si  $e$  est une pointe de  $M'$ , si  $\rho_e$  est un rayon géodésique minimisant dans la classe  $e$ , puisque  $M'$  est géométriquement finie, il existe (voir par exemple [Bow]) une horoboule ouverte  $H_e$  dans  $\tilde{M}'$ , centrée au point à l'infini  $\xi_e$  d'un relevé de  $\rho_e$  dans  $\tilde{M}'$ , telle que  $H_e$  et  $\gamma H_e$  soient disjointes si  $\gamma \in \Gamma$  ne fixe pas  $\xi_e$ . En particulier, le quotient de  $H_e$  par son stabilisateur dans  $\Gamma$  s'injecte dans  $M$  par l'application induite par  $\tilde{\pi}|_{H_e}$ . L'image  $V_e$  de  $H_e$  dans  $M'$  par  $\tilde{\pi}$  est appelée un *voisinage cuspidal* (ou *de Margulis*) de la pointe  $e$ .

Notons  $\mathcal{H}$  une union finie non vide de voisinages cuspidaux de  $M$ , et  $\partial\mathcal{H}$  la réunion correspondante des bords de ces voisinages cuspidaux. Munissons chacun de ces bord de la métrique riemannienne induite. Nous ne supposons pas que ces bords sont deux à deux disjoints, ni qu'ils soient disjoints de  $C$ , ni que toutes les pointes de  $M$  interviennent. Nous noterons  $\text{Vol}(\mathcal{H})$  la somme des volumes riemanniens de ces voisinages cuspidaux et  $\text{Vol}(\partial\mathcal{H})$  celle de leurs bords. Le résultat suivant est un calcul élémentaire bien connu.

**Lemme 4.1** *Si  $M$  est hyperbolique, alors  $\text{Vol}(\mathcal{H}) = \frac{\text{Vol}(\partial\mathcal{H})}{n-1}$ .*

**Démonstration.** Il suffit, par additivité, de montrer le résultat lorsque  $\mathcal{H}$  ne comporte qu'un seul voisinage cuspidal. Notons

$$\mathbb{H}_{\mathbb{R}}^n = \left\{ x = (x_1, \dots, x_n) \in \mathbb{R}^n : x_n > 0 \right\}, \frac{dx_1^2 + \dots + dx_n^2}{x_n^2}$$

le modèle du demi-espace supérieur de l'espace hyperbolique réel de dimension  $n$ . Choisissons un revêtement riemannien universel  $\tilde{\pi} : \mathbb{H}_{\mathbb{R}}^n \rightarrow M$  tel que l'horosphère d'équation  $x_n = 1$ , que nous noterons  $\partial\tilde{\mathcal{H}}$ , s'envoie sur  $\partial\mathcal{H}$ . Notons  $\Omega$  une partie mesurable de  $\partial\tilde{\mathcal{H}}$ , telle que  $\tilde{\pi}|_{\Omega} : \Omega \rightarrow \partial\mathcal{H}$  soit une bijection. Remarquons que l'élément de volume hyperbolique s'écrit  $d\text{vol}_{\mathbb{H}_{\mathbb{R}}^n} = d\text{vol}_{\partial\tilde{\mathcal{H}}} \frac{dx_n}{x_n}$ . Par définition d'un voisinage cuspidal, nous avons donc

$$\text{Vol}(\mathcal{H}) = \int_{\Omega \times [1, +\infty[} d\text{vol}_{\mathbb{H}_{\mathbb{R}}^n} = \text{Vol}(\partial\mathcal{H}) \int_1^{+\infty} \frac{dt}{t^n} = \frac{\text{Vol}(\partial\mathcal{H})}{n-1}. \quad \square$$

Pour tout  $t \geq 0$ , notons  $\mathcal{N}(t) = \mathcal{N}_{M,C,\mathcal{H}}(t)$  le nombre compté avec multiplicité (voir ci-dessous) de segments (localement) géodésiques  $\delta$  entre un point de  $C$  et un point de  $\partial\mathcal{H}$ , partant perpendiculairement de  $C$  (si  $k > 0$ ) et arrivant perpendiculairement en  $\partial\mathcal{H}$ , de longueur algébrique au plus  $t$ . La longueur de  $\delta$  est comptée positivement s'il sort de  $\mathcal{H}$  en son point de départ sur  $\partial\mathcal{H}$ , et négativement sinon (cette convention n'a pas d'influence pour notre équivalent donné dans le théorème 4.2, car il n'y a qu'un nombre fini de tels  $\delta$  de longueur plus petite qu'une valeur donnée). En particulier, si  $C$  et  $\mathcal{H}$  sont disjoints, alors les longueurs algébriques des  $\delta$  sont toutes strictement positives. Un point de tangence entre  $\partial\mathcal{H}$  et  $C$  est un tel segment  $\delta$  (de longueur nulle). Si  $\iota : C \rightarrow M$  est l'immersion considérée de  $C$  dans  $M$ , si  $v$  est le vecteur tangent de  $\delta$  en son origine notée  $x$ , alors la *multiplicité* de  $\delta$  est

$$m(\delta) = \text{Card}\{x' \in C : \iota(x') = x \text{ et } T_{x'}\iota(T_{x'}C) \perp v\}. \quad (-9-)$$

Dans la formule ci-dessous,  $\mathbb{S}_m$  désigne la sphère unité de  $\mathbb{R}^{m+1}$ , munie de sa métrique riemannienne usuelle.

**Théorème 4.2** *Soit  $M$  une variété hyperbolique connexe, de volume fini, de dimension  $n \geq 2$ . Soit  $C$  une sous-variété lisse immergée de volume fini dans  $M$ , totalement géodésique, de dimension  $k < n$ . Soit  $\mathcal{H}$  une union finie non vide de voisinages cuspidaux de  $M$ . Alors quand  $t$  tend vers  $+\infty$ ,*

$$\mathcal{N}_{M,C,\mathcal{H}}(t) \sim \frac{\text{Vol}(\mathbb{S}_{n-k-1}) \text{Vol}(\mathcal{H}) \text{Vol}(C)}{\text{Vol}(\mathbb{S}_{n-1}) \text{Vol}(M)} e^{(n-1)t}.$$

Nous renvoyons à la fin de cette partie pour des remarques sur cet énoncé. Avant de commencer la preuve du théorème 4.2, nous démontrons trois résultats d'intérêt indépendant en géométrie hyperbolique.

La proposition suivante est un exercice de géométrie hyperbolique (voir [Bus] pour  $n = 2$  et [Bas] pour  $k = n - 1$ ).

**Proposition 4.3** *Soient  $\widehat{M}$  une variété hyperbolique de dimension  $n \geq 2$ ,  $\widehat{C}$  une sous-variété (plongée) de volume fini totalement géodésique de dimension  $k < n$ , telle que l'inclusion de  $\widehat{C}$  dans  $\widehat{M}$  soit une équivalence d'homotopie. Quand  $t$  tend vers  $+\infty$ , nous avons l'équivalent*

$$\text{Vol}(\mathcal{V}_t \widehat{C}) \sim \frac{\text{Vol}(\mathbb{S}_{n-k-1}) \text{Vol}(\widehat{C})}{(n-1)2^{n-1}} e^{(n-1)t} .$$

Pour usage ultérieur, remarquons qu'il découle de ce résultat que, pour tout  $\epsilon \in \mathbb{R}$ ,

$$\text{Vol}(\mathcal{V}_{t+\epsilon} \widehat{C}) \sim e^{(n-1)\epsilon} \text{Vol}(\mathcal{V}_t \widehat{C}) \quad (-10-)$$

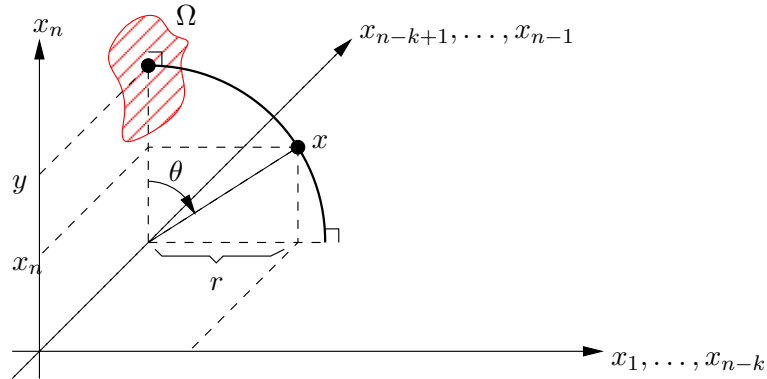
Pour une valeur exacte du volume du  $t$ -voisinage de  $\widehat{C}$ , voir la formule (-11-), qui lorsque  $k = 1$  devient

$$\text{Vol}(\mathcal{V}_t \widehat{C}) = \frac{\text{Vol}(\mathbb{S}_{n-2}) \text{Vol}(\widehat{C})}{(n-1)} (\sinh t)^{n-1} .$$

**Démonstration.** Par additivité, nous pouvons supposer que  $\widehat{C}$  (et donc  $\widehat{M}$ ) est connexe. Considérons de nouveau  $\mathbb{H}_{\mathbb{R}}^n$ , le modèle du demi-espace supérieur de l'espace hyperbolique réel de dimension  $n$ . Si  $k = 0$ , alors  $\widehat{C}$  est un point, et le résultat est connu. Donc nous supposons que  $k \geq 1$ . Notons  $\mathbb{H}_{\mathbb{R}}^k$  son sous-espace hyperbolique d'équations  $x_1 = 0, \dots, x_{n-k} = 0$ . Choisissons un revêtement riemannien universel  $\tilde{\pi} : \mathbb{H}_{\mathbb{R}}^n \rightarrow \widehat{M}$  tel que  $\tilde{\pi}(\mathbb{H}_{\mathbb{R}}^k) = \widehat{C}$ . Notons  $\Omega$  une partie mesurable de  $\mathbb{H}_{\mathbb{R}}^k$ , telle que  $\tilde{\pi}|_{\Omega} : \Omega \rightarrow \widehat{C}$  soit une bijection. En particulier,

$$\int_{\Omega} d\text{vol}_{\mathbb{H}_{\mathbb{R}}^k} = \text{Vol}(\widehat{C}) .$$

Pour tout  $x = (x_1, \dots, x_n) \in \mathbb{H}_{\mathbb{R}}^n$ , notons  $y$  la dernière coordonnée de la projection orthogonale hyperbolique de  $x$  sur  $\mathbb{H}_{\mathbb{R}}^k$ , notons  $s$  la distance hyperbolique de  $x$  à  $\mathbb{H}_{\mathbb{R}}^k$ , notons  $r = (\sum_{i=1}^{n-k} x_i^2)^{1/2}$ , et notons  $\theta$  l'angle (euclidien) de l'arc de cercle entre la projection de  $x$  et  $x$  porté par la géodésique hyperbolique entre ces deux points, s'ils sont distincts (voir la figure ci-dessous).



Une formule classique (voir par exemple [Bea, page 145]) montre que  $\sinh s = \tan \theta$ . Nous avons  $x_n = y \cos \theta$  et  $r = y \sin \theta$ , de sorte que  $dr \wedge dx_n = y d\theta \wedge dy$ . La mesure de Lebesgue de  $\mathbb{R}^{n-k}$  s'écrit en coordonnées sphériques  $dx_1 \dots dx_{n-k} = r^{n-k-1} dr d\text{vol}_{\mathbb{S}_{n-k-1}}$ . L'élément de volume hyperbolique s'écrit donc

$$\begin{aligned} d\text{vol}_{\mathbb{H}_{\mathbb{R}}^n} &= \frac{dx_1 \dots dx_n}{x_n^n} = \frac{r^{n-k-1}}{x_n^n} dr d\text{vol}_{\mathbb{S}_{n-k-1}} dx_{n-k+1} \dots dx_n \\ &= \frac{\sin^{n-k-1} \theta}{y^k \cos^n \theta} d\theta d\text{vol}_{\mathbb{S}_{n-k-1}} dx_{n-k+1} \dots dx_{n-1} dy . \end{aligned}$$

Pour tout  $t > 0$ , posons  $\theta_t = \arctan(\sinh t)$ . Puisque  $\widehat{M}$  se rétracte par déformation sur  $\widehat{C}$ , l'application  $\tilde{\pi}$  envoie le domaine  $\mathcal{D} = \{x \in \mathbb{H}_{\mathbb{R}}^n : y \in \Omega, \theta \in [0, \theta_t]\}$  sur  $\mathcal{V}_t \widehat{C}$  en préservant la mesure. Donc

$$\begin{aligned} \text{Vol}(\mathcal{V}_t \widehat{C}) &= \int_{\mathcal{D}} d\text{vol}_{\mathbb{H}_{\mathbb{R}}^n} = \int_{\mathbb{S}_{n-k-1}} d\text{vol}_{\mathbb{S}_{n-k-1}} \int_0^{\theta_t} \frac{\sin^{n-k-1} \theta}{\cos^n \theta} d\theta \int_{\Omega} \frac{dx_{n-k+1} \dots dx_{n-1} dy}{y^k} \\ &= \text{Vol}(\mathbb{S}_{n-k-1}) \text{Vol}(\widehat{C}) \int_0^t \tanh^{n-k-1} s \cosh^{n-1} s ds , \end{aligned} \quad (-11-)$$

en faisant le changement de variable  $\theta = \arctan(\sinh s)$ . La remarque suivant l'énoncé de la proposition 4.3 en découle. Un argument classique de découpage en deux de l'intégrale et les équivalents  $\tanh s \sim 1$  et  $\cosh s \sim e^s/2$  quand  $s$  tend vers  $+\infty$  montrent facilement la proposition 4.3.  $\square$

Le second résultat de géométrie hyperbolique est sans doute aussi bien connu, et une preuve nous a été communiquée par P. Pansu. Si  $X = \mathbb{H}_{\mathbb{R}}^n$  est l'espace hyperbolique réel de dimension  $n \geq 2$ , nous appellerons *horosphère instable* (resp. *stable*) le relevé, dans le fibré unitaire tangent  $T^1 X$ , par la normale sortante (resp. rentrante) d'une horosphère de  $X$ .

**Proposition 4.4** *Dans  $T^1 \mathbb{H}_{\mathbb{R}}^n$ , une horosphère instable et une horosphère stable, qui se rencontrent, sont orthogonales en leur point d'intersection pour la métrique de Sasaki.*

**Démonstration.** La preuve utilise l'isomorphisme linéaire bien connu, pour tout vecteur tangent unitaire  $v$  d'une variété riemannienne complète  $M$ , entre l'espace vectoriel  $T_v TM$  et celui des champs de Jacobi le long de la géodésique définie par  $v$ .

Notons  $M = \mathbb{H}_{\mathbb{R}}^n$  et  $p : TM \rightarrow M$  la projection canonique dans cette preuve. Rappelons (voir le début de la démonstration de la proposition 3.3) que la métrique de Sasaki sur  $TM$  est définie en posant, pour tous  $v \in T^1 M$ , et  $X, Y \in T_v TM$

$$\langle X, Y \rangle_{TM} = \langle \nabla_v(Z_X), \nabla_v(Z_Y) \rangle_M + \langle T_v p(X), T_v p(Y) \rangle_M , \quad (-12-)$$

où  $Z_X : M \rightarrow TM$  est n'importe quel champ de vecteurs lisse tels que  $Z_X(p(v)) = v$  et  $TZ_X(v) = X$ .

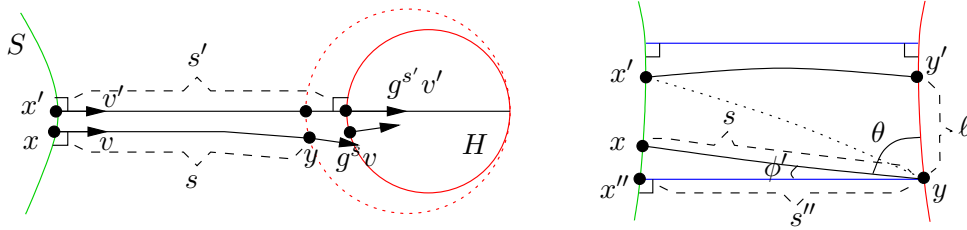
Pour tous  $v \in T^1 M$  et  $X \in T_v TM$ , notons  $t \mapsto J_X(t)$  le champ de Jacobi le long de la géodésique  $\gamma_v : t \mapsto p(g^t v)$  tel que  $J_X(0) = T_v p(X)$  et  $\dot{J}_X(0) = \nabla_v Z_X$ . Par transport parallèle le long de  $\gamma_v$ , nous considérons que  $J_X(t) \in T_{p(v)} M$  pour tout  $t \in \mathbb{R}$ . Remarquons que l'espace tangent à l'horosphère stable (resp. instable) passant par  $v$  est l'ensemble des  $X \in T_v TM$  tels que  $J_X$  soit orthogonal le long de  $\gamma_v$  et  $\lim_{t \rightarrow +\infty} J_X(t) = 0$  (resp.  $\lim_{t \rightarrow -\infty} J_X(t) = 0$ ).

Puisque  $M$  est à courbure constante  $-1$ , l'équation des champs de Jacobi est  $\ddot{J}(t) - J(t) = 0$ . Soit  $X \in T_v TM$  (resp.  $Y \in T_v TM$ ) un vecteur tangent à l'horosphère stable (resp. instable) passant par  $v$ . Alors  $J_X(t) = e^{-t} J_X(0)$ , donc  $\dot{J}_X(0) = -J_X(0)$ . De même, nous avons  $\dot{J}_Y(0) = J_Y(0)$ . Donc, par la formule (-12-), nous avons  $\langle X, Y \rangle_{TM} = \langle \dot{J}_X(0), \dot{J}_Y(0) \rangle + \langle J_X(0), J_Y(0) \rangle = 0$ , ce qui montre le résultat.  $\square$

Le troisième résultat est en fait valable plus généralement que pour l'espace hyperbolique réel  $X = \mathbb{H}_{\mathbb{R}}^n$ .

**Lemme 4.5** *Pour tout  $\epsilon > 0$ , il existe  $\delta > 0$  tel que pour toute hypersurface  $C^1$  strictement convexe  $S$  d'une variété riemannienne  $X$  complète, simplement connexe, de dimension  $n \geq 2$ , à courbure sectionnelle pincée au plus  $-1$ , pour toute horoboule fermée  $H$  disjointe de  $S$ , pour tout vecteur  $v \in N_+ S$ , pour tout  $s \geq 1$ , si  $g^s v \in \mathcal{V}_\delta(N_-(\partial H))$ , alors il existe  $v' \in N_+ S$  et  $s' \geq 0$  tel que  $g^{s'} v' \in N_-(\partial H) \cap B_{T^1 X}(g^s v, \epsilon)$ .*

**Démonstration.** Soit  $(X, S, H, v, s)$  comme dans l'énoncé. Notons  $s' = d(S, H)$  (qui est strictement positive), et  $v'$  le vecteur tangent à l'origine du segment perpendiculaire commun allant de  $S$  à  $H$ . Nous avons en particulier  $g^{s'} v' \in N_-(\partial H)$ . Nous pouvons supposer que  $v' \neq v$ . Pour  $\pi : T^1 X \rightarrow X$  la projection canonique, définissons  $x = \pi(v)$ ,  $y = \pi(g^s v)$ ,  $x' = \pi(v')$ ,  $y' = \pi(g^{s'} v')$  (voir la figure ci-dessous à gauche). Montrons que  $g^{s'} v'$  est proche de  $g^s v$  si  $g^s v$  est suffisamment proche d'un élément de  $N_-(\partial H)$  (avec constantes uniformes).



Soit  $\epsilon' > 0$ . La projection canonique  $\pi$  est 1-lipschitzienne, et isométrique sur chaque orbite du flot géodésique. Donc quitte à remplacer  $H$  par une horoboule fermée concentrique et  $s'$  par  $s' \pm d(y, \partial H)$ , nous pouvons supposer que  $y \in \partial H$ , et que l'angle en  $y$  entre  $g^s v$  et le vecteur unitaire normal rentrant dans  $H$  en  $y$  est au plus  $\epsilon'$ .

Considérons le quadrilatère géodésique  $Q$  de sommets  $x, x', y', y$ . Par convexité, ses angles en  $x, x', y'$  sont au moins  $\frac{\pi}{2}$ , et l'angle en  $y$ , noté  $\theta$ , appartient à  $[\frac{\pi}{2} - \epsilon', \frac{\pi}{2}[$ .

Montrons que  $\ell = d(y, y')$  tend uniformément vers 0 quand  $\epsilon'$  tend vers 0. Ceci implique le résultat, car puisque les horosphères ont des courbures principales bornées par l'hypothèse de pincement de la courbure de  $X$ , les vecteurs unitaires normaux rentrant dans  $H$  en  $y$  et  $y'$  seront uniformément proches.

Par comparaison, nous pouvons supposer que la courbure est constante, égale à  $-1$ . Puisque remplacer le triangle géodésique de sommets  $x', y, y'$  par le triangle géodésique isométrique, de sommets  $x', y, y''$ , contenu dans le plan hyperbolique contenant  $x, y, x'$ , et de l'autre côté de la géodésique passant par  $x', y$ , ne fait qu'augmenter les angles en  $x'$  et  $y$  sans changer les autres angles ni les longueurs des côtés, nous pouvons supposer que  $Q$  est contenu dans un plan hyperbolique. Quitte à remplacer le côté  $[x', y']$  par le segment géodésique perpendiculaire commun aux droites passant par  $x, x'$  et  $y, y'$ , ce qui ne peut qu'augmenter  $\ell = d(y, y')$  et laisse  $s = d(x, y)$  inchangé, nous pouvons supposer que les angles de  $Q$  en  $x'$  et  $y'$  sont égaux à  $\frac{\pi}{2}$ .

Notons  $x''$  la projection orthogonale de  $y$  sur la géodésique passant par  $x, x'$ , notons  $\phi' \in [0, \epsilon']$  l'angle en  $y$  du triangle géodésique de sommets  $x'', y, x$ , et posons  $s'' = d(x'', y)$  (voir la figure ci-dessus à droite). Par la formule 7.11.2(iii) de [Bea, page 147], nous avons

$$\tanh s'' = \tanh s \cos \phi' \geq \tanh 1 \cos \epsilon' ,$$

car  $s \geq 1$ . Donc en utilisant les formules de [Bea, page 157] pour le quadrilatère de sommets  $x'', x', y', y$  dont l'angle en  $y$  est au moins  $\theta$  et les autres angles sont droits, nous avons

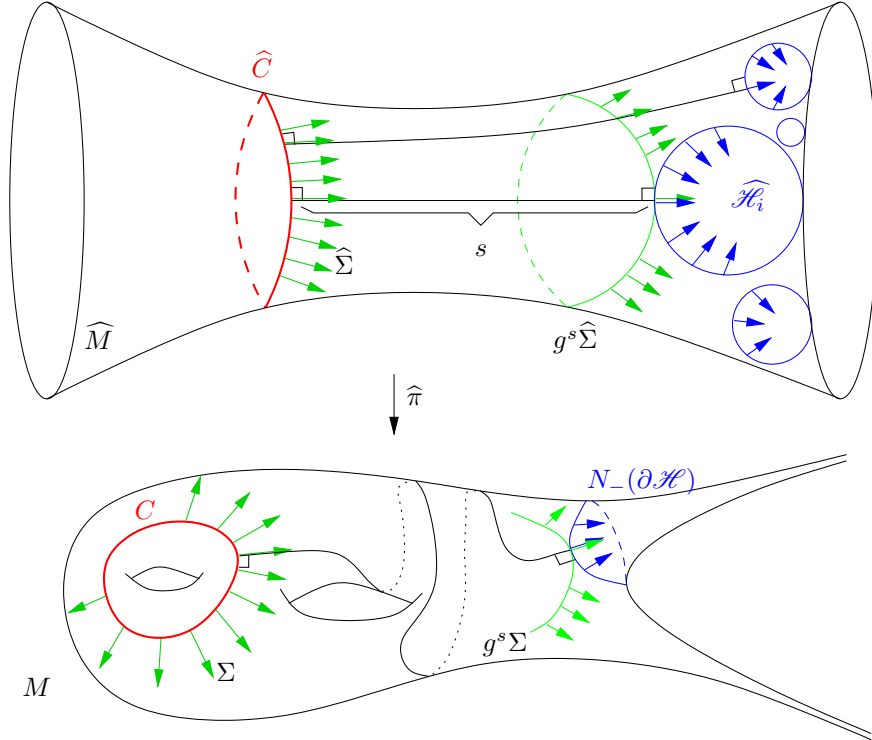
$$\tanh \ell \leq \frac{\cos \theta}{\tanh s''} \leq \frac{\cos(\frac{\pi}{2} - \epsilon')}{\tanh 1 \cos \epsilon'} = \frac{\tan \epsilon'}{\tanh 1} ,$$

qui tend uniformément vers 0 quand  $\epsilon'$  tend vers 0. Le résultat en découle.  $\square$

**Démonstration du théorème 4.2.** Fixons  $\epsilon_0 > 0$  suffisamment petit.

Nous effectuons tout d'abord quelques réductions pour simplifier la situation géométrique de l'énoncé.

Si  $C$  est réunion de deux sous-variétés immergées de volume fini totalement géodésiques  $C'$  et  $C''$ , alors les deux membres de l'équivalent du théorème sont les sommes des termes correspondants à  $C'$  et  $C''$ . Nous pouvons donc supposer que  $C$  est connexe.



Pour tout  $h > 0$ , soit  $\mathcal{H}_h$  la réunion des voisinages cuspidaux des mêmes bouts que  $\mathcal{H}$ , contenue dans  $\mathcal{H}$ , et telle que  $\partial \mathcal{H}_h$  soit une hypersurface immergée à équidistance  $h$  de  $\partial \mathcal{H}$ . Avec notre convention concernant la longueur algébrique des segments perpendiculaires communs, nous avons  $\mathcal{N}_{M, C, \mathcal{H}_h}(t) = \mathcal{N}_{M, C, \mathcal{H}}(t + h)$  puisque les géodésiques de  $\mathbb{H}_{\mathbb{R}}^n$  perpendiculaires à une horosphère sont perpendiculaires à toutes les horosphères concentriques. Puisque le flot géodésique contracte par  $e^{-t}$  la distance riemannienne induite des

feuilles stables,  $\text{Vol}(\mathcal{H}_h) = e^{-(n-1)h} \text{Vol}(\mathcal{H})$ . Quitte à remplacer  $\mathcal{H}$  par  $\mathcal{H}_h$  avec  $h$  assez grand, nous pouvons donc supposer que les voisinages cuspidaux qui composent  $\mathcal{H}$  sont à distance strictement supérieure à  $2\epsilon_0$  deux à deux, ainsi que de  $C$  privé d'un voisinage cuspidal dans  $C$  de chaque pointe de  $C$  représentée par un rayon géodésique minimisant contenu dans  $\mathcal{H}$ .

Nous commençons la preuve du théorème 4.2 en introduisant divers objets géométriques qui nous seront utiles.

Notons  $\widehat{\pi} : \widehat{M} \rightarrow M$  le revêtement riemannien de  $M$  défini par  $C$  : fixons un point base dans  $C$  et prenons pour point base dans  $M$  son image par l'immersion  $\iota$  de  $C$  dans  $M$  ; alors, en notant  $\iota_* : \pi_1 C \rightarrow \pi_1 M$  l'application induite sur les groupes fondamentaux par  $\iota$ , le revêtement  $\widehat{\pi} : \widehat{M} \rightarrow M$  est le revêtement connexe de  $M$  défini par le sous-groupe  $\iota_* \pi_1 C$  de  $\pi_1 M$ . Nous munissons bien sûr  $\widehat{M}$  de la métrique riemannienne relevée. Par le théorème du relèvement, l'immersion de  $C$  dans  $M$  se relève en un plongement de  $C$  dans  $\widehat{M}$ , dont nous notons l'image  $\widehat{C}$ . Nous noterons encore  $(g^t)_{t \in \mathbb{R}}$  le flot géodésique sur  $T^1 \widehat{M}$ . Notons  $\widehat{\Sigma} = \nu^1 \widehat{C}$  (voir la figure ci-dessus), et définissons

$$\widehat{\mathcal{H}} = \widehat{\pi}^{-1}(\mathcal{H}) \quad \text{et} \quad \widehat{\Omega}_t = \bigcup_{s \in [0, t]} g^s \widehat{\Sigma} .$$

Les propriétés de ces objets géométriques dont nous aurons besoin sont les suivantes.

- La partie  $\widehat{C}$  est une sous-variété (plongée) de volume fini, connexe, totalement géodésique, de dimension  $k$ , dans la variété hyperbolique  $\widehat{M}$ , et  $\widehat{\Sigma}$  est une sous-variété (plongée) de  $T^1 \widehat{M}$ .
- La variété  $\widehat{M}$  est géométriquement finie, et ses pointes correspondent aux pointes de  $\widehat{C}$ . Elle se rétracte par déformation forte sur  $\widehat{C}$  (le long des rayons géodésiques perpendiculaires à  $\widehat{C}$ ), de sorte que chaque voisinage cuspidal de  $\widehat{M}$  soit préservé lors de la déformation et s'envoie sur un voisinage cuspidal de  $\widehat{C}$ .
- L'application  $\widehat{\pi}$  envoie  $\widehat{C}$  sur (l'image dans  $M$  de)  $C$  en préservant les mesures riemanniennes ; en particulier

$$\text{Vol}(\widehat{C}) = \text{Vol}(C) . \quad (-13-)$$

- L'image de  $\widehat{\Sigma}$  par l'application tangente  $T\widehat{\pi}$  est l'image dans  $T^1 M$  du fibré normal unitaire de  $C$ . Puisque  $\widehat{\pi}$  est un revêtement riemannien,  $T\widehat{\pi}$  envoie  $g^t \widehat{\Sigma}$  sur  $g^t \Sigma$  en préservant les mesures riemanniennes :

$$(T\widehat{\pi})_*(d \text{vol}_{g^t \widehat{\Sigma}}) = d \text{vol}_{g^t \Sigma} . \quad (-14-)$$

- La partie  $\widehat{\Omega}_t$  est une sous-variété à bord, lisse, de volume fini, de dimension  $n$  dans la variété  $T^1 \widehat{M}$  de dimension  $2n - 1$ , qui est la réunion disjointe des  $g^s \widehat{\Sigma}$  pour  $s \in [0, t]$ .
- L'application de  $\widehat{\Omega}_t$  dans  $[0, t]$ , de fibre  $g^s \widehat{\Sigma}$  au dessus de  $s \in [0, t]$ , est une fibration (différentiablement) triviale ; puisque les géodésiques de vecteur origine dans  $\widehat{\Sigma}$  sont perpendiculaires aux hypersurfaces équidistantes à  $\widehat{\Sigma}$ , la mesure riemannienne de  $\widehat{\Omega}_t$  se désintègre par cette fibration en la mesure de Lebesgue sur  $[0, t]$ , de mesure conditionnelle au-dessus du point  $s$  la mesure riemannienne sur  $g^s \widehat{\Sigma}$  :

$$d \text{vol}_{\Omega_t} = \int_0^t d \text{vol}_{g^s \widehat{\Sigma}} ds . \quad (-15-)$$

- Les courbures principales des hypersurfaces  $\partial\mathcal{V}_t\widehat{C}$  convergent uniformément, quand  $t$  tend vers  $+\infty$ , vers 1 (la courbure principale des horosphères dans  $\mathbb{H}_{\mathbb{R}}^n$ ). Par le point précédent et la proposition 3.3 (appliquée à la variété  $\widehat{M}$  et à l'hypersurface  $\partial\mathcal{V}_t\widehat{C}$ ), nous avons donc, quand  $t$  tend vers  $+\infty$ , l'équivalent

$$\text{Vol}(\widehat{\Omega}_t) \sim 2^{\frac{n-1}{2}} \text{Vol}(\mathcal{V}_t\widehat{C}) . \quad (-16-)$$

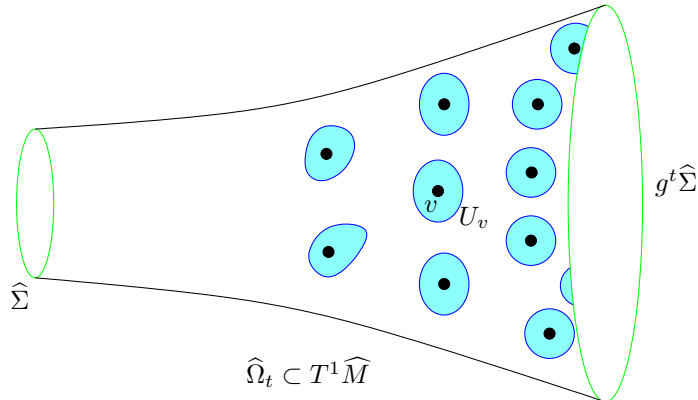
- La partie  $\widehat{\mathcal{H}}$  est la réunion d'une union finie  $V$  de voisinages cuspidaux de pointes de  $\widehat{M}$  à distance strictement supérieure à  $2\epsilon_0$  deux à deux, et d'une union d'horoboules isométriquement plongées dans  $\widehat{M}$ , ces horoboules plongées étant à distance strictement supérieure à  $2\epsilon_0$  deux à deux, ainsi que de  $\widehat{C}$  et de  $V$ . De plus,  $\partial(\widehat{\mathcal{H}} - V) = \widehat{\pi}^{-1}(\partial\mathcal{H}) - \partial V$ , que nous noterons  $\partial^*\widehat{\mathcal{H}}$  pour simplifier les notations dans la suite, est une sous-variété (plongée) strictement convexe lisse de dimension  $n-1$  dans  $\widehat{M}$ , donc  $N_-(\partial^*\widehat{\mathcal{H}})$  est une sous-variété (plongée) lisse de dimension  $n-1$  dans  $T^1\widehat{M}$ .

L'intérêt d'introduire ces objets géométriques pour notre problème de comptage réside dans le résultat suivant.

**Proposition 4.6** *Pour tout  $t \geq 0$ , l'ensemble  $I_t = \widehat{\Omega}_t \cap N_-(\partial^*\widehat{\mathcal{H}})$  est fini, de cardinal égal à  $\mathcal{N}(t)$ .*

**Démonstration.** Par stricte convexité des horosphères dans  $\mathbb{H}_{\mathbb{R}}^n$  (et additivité des dimensions), chaque composante connexe de  $N_-(\partial^*\widehat{\mathcal{H}})$  rencontre  $\widehat{\Omega}_t$  en au plus un point (et l'intersection est transverse). Comme aucune composante de  $N_-(\partial V)$  ne rencontre  $\widehat{\Omega}_t$ , nous avons  $I_t = \widehat{\Omega}_t \cap N_-(\partial^*\widehat{\mathcal{H}})$ . Pour usage ultérieur, notons que deux éléments de  $I_t$  sont donc à distance strictement supérieure à  $2\epsilon_0$ , car leurs points bases le sont.

Pour tout  $t \geq 0$ , tout segment de géodésique  $\gamma$  de longueur  $s \leq t$ , partant perpendiculairement en un point de  $C$  et arrivant perpendiculairement en un point de  $\partial\mathcal{H}$ , de multiplicité  $m$ , se relève par le revêtement  $\widehat{\pi}$  en exactement  $m$  segments géodésiques de longueurs  $s$  (d'origines deux à deux distinctes), partant perpendiculairement de  $\widehat{C}$ , et arrivant perpendiculairement en des points  $x_{\gamma,1}, \dots, x_{\gamma,m}$  (deux à deux distincts) de  $\partial^*\widehat{\mathcal{H}}$ . Les vecteurs unitaires  $N_-(x_{\gamma,1}), \dots, N_-(x_{\gamma,m})$  rentrants normaux à  $\partial^*\widehat{\mathcal{H}}$  appartiennent à  $g^s\widehat{\Sigma} \cap N_-(\partial^*\widehat{\mathcal{H}})$ , donc à  $I_t$ . Le résultat en découle facilement.  $\square$



Pour continuer la preuve du théorème 4.2, nous introduisons maintenant l'objet analytique qui nous sera utile. Montrons que pour tout  $\eta > 0$  suffisamment petit, il existe une application  $\psi_\eta \in \mathcal{C}_c(T^1M)$ , à support dans  $\mathcal{V}_\eta(N_-(\partial\mathcal{H}))$ , telle que les mesures  $\psi_\eta d\text{vol}_{T^1M}$  convergent vaguement vers la mesure riemannienne  $d\text{vol}_{N_-(\partial\mathcal{H})}$  de  $N_-(\partial\mathcal{H})$  quand  $\eta$  tend vers 0. Ce résultat est classique, mais nous en donnons une preuve car nous aurons besoin d'une version assez précise, et de ses notations, par la suite.

Notons  $\nu\mathcal{H}$  le fibré normal de la sous-variété  $N_-(\partial\mathcal{H})$  de la variété riemannienne  $T^1M$ , muni de la métrique fibrée induite par la métrique de  $T^1M$ . Par compacité de  $N_-(\partial\mathcal{H})$  et par les propriétés de l'exponentielle riemannienne, il existe  $\eta_0 > 0$  tel que pour tout  $\eta \in ]0, \eta_0]$ , l'application exponentielle normale de  $\nu\mathcal{H}$  dans  $T^1M$  soit un difféomorphisme lisse du  $\eta$ -voisinage de la section nulle dans  $\nu\mathcal{H}$  sur le  $\eta$ -voisinage de  $N_-(\partial\mathcal{H})$  dans  $T^1M$ . Pour tout  $v$  dans  $N_-(\partial\mathcal{H})$ , nous noterons  $D_\perp(v, \eta)$  l'image par cette application de la boule de centre 0 et de rayon  $\eta$  dans la fibre de  $\nu\mathcal{H}$  au-dessus de  $v$ . Pour tout  $v$  dans  $N_-(\partial\mathcal{H})$ , prenons sur  $D_\perp(v, \eta_0)$  une fonction continue  $\psi_{v, \eta}$  à support compact contenu dans  $D_\perp(v, \eta)$  telle que  $\psi_{v, \eta} d\lambda$ , où  $d\lambda$  est la mesure riemannienne sur  $D_\perp(v, \eta_0)$ , converge vers la masse de Dirac en  $v$  quand  $\eta \rightarrow 0$ . Par un argument de trivialité locale du fibré  $\nu\mathcal{H}$  et de partition finie de l'unité, nous obtenons donc une application  $\psi_\eta$  cherchée, par orthogonalité en  $v \in N_-(\partial\mathcal{H})$  de  $D_\perp(v, \eta_0)$  et de  $T_v N_-(\partial\mathcal{H})$ .

Le coeur de la preuve du théorème 4.2 est maintenant d'estimer de deux manières différentes l'intégrale  $\int \psi_\eta \circ T\hat{\pi} d\text{vol}_{\hat{\Omega}_t}$ . Fixons  $\epsilon > 0$ .

Donnons tout d'abord des informations sur le support de la mesure  $\psi_\eta \circ T\hat{\pi} d\text{vol}_{\hat{\Omega}_t}$ .

Notons  $\hat{\Omega}_\infty = \bigcup_{t \in [0, +\infty[} \hat{\Omega}_t$  et  $I_\infty = \bigcup_{t \in [0, +\infty[} I_t$ , qui sont des unions croissantes. Remarquons que  $\hat{\Omega}_\infty$  est une sous-variété lisse de  $T^1\widehat{M}$ , et que  $I_\infty$  est un ensemble de points  $(2\epsilon_0)$ -séparés de  $\hat{\Omega}_\infty$ , comme mentionné dans la preuve de la proposition 4.6. Remarquons aussi que si  $\eta$  est assez petit, alors  $\hat{\Omega}_\infty$  ne rencontre pas le  $\eta$ -voisinage de  $N_-(\partial V)$ , car l'angle en un point de  $\partial V$  entre un vecteur unitaire normal rentrant dans  $V$  et le vecteur tangent d'un rayon géodésique perpendiculaire à  $\widehat{C}$ , en ce point, est au moins  $\frac{\pi}{2}$ .

Pour tout  $v$  dans  $I_\infty$ , notons  $s_v$  l'unique  $s \in [0, +\infty[$  tel que  $v \in g^s \widehat{\Sigma}$ , et  $U_v$  l'intersection triple du support de  $\psi_\eta \circ T\hat{\pi}$ , de la boule de centre  $v$  et de rayon  $\epsilon_0$ , et de  $\hat{\Omega}_\infty$ . Comme il vient d'être dit, les  $U_v$  sont deux à deux disjoints. Les propriétés des  $U_v$  que nous utiliserons sont les suivantes (voir la figure précédente).

**Lemme 4.7** (1) *Pour tout  $\eta > 0$  suffisamment petit, pour tout  $t \geq \epsilon_0$ , l'intersection de  $\hat{\Omega}_{t-\epsilon_0}$  et du support de  $\psi_\eta \circ T\hat{\pi}$  est contenue dans la réunion disjointe des  $U_v$  pour  $v \in I_t$ . De même, l'intersection de  $\hat{\Omega}_{t+\epsilon_0}$  et du support de  $\psi_\eta \circ T\hat{\pi}$  contient la réunion disjointe des  $U_v$  pour  $v \in I_t$ .*

(2) *Pour tout  $\eta > 0$  suffisamment petit, pour tout  $v \in I_\infty$ , pour tout  $t \geq s_v + \epsilon_0$ ,*

$$1 - \epsilon \leq \int_{U_v} \psi_\eta \circ T\hat{\pi} d\text{vol}_{\Omega_t} \leq 1 + \epsilon. \quad (-17-)$$

**Démonstration.** Tout d'abord, par le lemme 4.5, si  $\eta$  est assez petit, tout point de l'intersection du support de  $\psi_\eta \circ T\hat{\pi}$  et de  $\hat{\Omega}_\infty$  est contenu dans la boule de centre  $v$  et de rayon  $\min\{\epsilon_0, \eta_0\}$  pour un  $v \in I_\infty$ . La première affirmation en découle.

Pour  $s$  assez grand, la sous-variété  $g^s \widehat{\Sigma}$  de  $T^1\widehat{M}$  est, au voisinage de chacun de ses points, proche d'un germe de feuille instable, donc par la proposition 4.4, est presque

perpendiculaire au germe de feuille stable passant par ce point. En tout point de  $T^1M$ , l'orbite du flot géodésique est orthogonale aux feuilles stables et instables. Donc si  $\eta_0$  est suffisamment petit, il existe  $t_0 \geq 0$  tel que si  $v \in I_\infty$  vérifie  $s_v \geq t_0$ , alors  $\widehat{\Omega}_\infty \cap B(v, \eta_0)$  est (différentiablement) proche de  $D_\perp(v, \eta_0)$ . Comme l'intégrale riemannienne de  $\psi_\eta \circ T\widehat{\pi}$  sur  $D_\perp(v, \eta_0)$  est égale à 1 (puisque  $T\widehat{\pi}$  est un revêtement riemannien), ceci montre la seconde affirmation lorsque  $s_v \geq t_0$ . Comme la restriction de  $\psi_\eta$  à  $D_\perp(v, \eta_0)$  converge vers la masse de Dirac unité en  $v$ , quitte à choisir  $\eta$  suffisamment petit, nous pouvons supposer que cette estimation soit aussi vraie pour l'ensemble fini des  $v \in I_\infty$  tels que  $s_v \in [0, t_0]$ .  $\square$

Procédons maintenant à la double estimation de l'intégrale globale  $\int \psi_\eta \circ T\widehat{\pi} d\text{vol}_{\widehat{\Omega}_t}$ .

Respectivement par le lemme 4.7 (1), par le lemme 4.7 (2), et par la proposition 4.6, nous avons

$$\int \psi_\eta \circ T\widehat{\pi} d\text{vol}_{\widehat{\Omega}_{t-\epsilon_0}} \leq \sum_{v \in I_t} \int_{U_v} \psi \circ T\widehat{\pi} d\text{vol}_{\widehat{\Omega}_t} \leq (1 + \epsilon) \text{Card } I_t = (1 + \epsilon) \mathcal{N}(t) .$$

Avec un argument similaire pour la minoration, nous obtenons l'encadrement suivant, reliant la fonction de comptage à l'intégrale  $\int \psi_\eta \circ T\widehat{\pi} d\text{vol}_{\widehat{\Omega}_t}$  : pour tout  $t \geq \epsilon_0$ ,

$$\frac{1}{1 + \epsilon} \int \psi_\eta \circ T\widehat{\pi} d\text{vol}_{\widehat{\Omega}_{t-\epsilon_0}} \leq \mathcal{N}(t) \leq \frac{1}{1 - \epsilon} \int \psi_\eta \circ T\widehat{\pi} d\text{vol}_{\widehat{\Omega}_{t+\epsilon_0}} . \quad (-18-)$$

Nous allons maintenant utiliser un argument d'équidistribution pour donner un équivalent de l'intégrale  $\int \psi_\eta \circ T\widehat{\pi} d\text{vol}_{\widehat{\Omega}_t}$  quand  $t$  tend vers  $+\infty$ .

Par la formule (-14-) et le théorème d'équidistribution 3.2, nous avons

$$\lim_{t \rightarrow +\infty} \oint \psi_\eta \circ T\widehat{\pi} d\text{vol}_{g^t \widehat{\Sigma}} = \lim_{t \rightarrow +\infty} \oint \psi_\eta d\text{vol}_{g^t \Sigma} = \oint \psi_\eta d\text{vol}_{T^1M} .$$

Par la formule (-15-) et un argument de moyenne de Césaro, nous avons donc

$$\lim_{t \rightarrow +\infty} \oint \psi_\eta \circ T\widehat{\pi} d\text{vol}_{\widehat{\Omega}_t} = \oint \psi_\eta d\text{vol}_{T^1M} . \quad (-19-)$$

Or par définition de l'application  $\psi_\eta$ , nous avons

$$\lim_{\eta \rightarrow 0} \oint \psi_\eta d\text{vol}_{T^1M} = \frac{\text{Vol}(N_-(\partial \mathcal{H}))}{\text{Vol}(T^1M)} > 0 .$$

Fixons  $\eta > 0$  suffisamment petit tel que

$$(1 - \epsilon) \frac{\text{Vol}(N_-(\partial \mathcal{H}))}{\text{Vol}(T^1M)} \leq \oint \psi_\eta d\text{vol}_{T^1M} \leq (1 + \epsilon) \frac{\text{Vol}(N_-(\partial \mathcal{H}))}{\text{Vol}(T^1M)} .$$

De ceci, par les formules (-18-) et (-19-), il découle que, pour tout  $t$  assez grand, nous avons

$$\frac{(1-\epsilon)^2}{1+\epsilon} \frac{\text{Vol}(N_-(\partial \mathcal{H}))}{\text{Vol}(T^1M)} \text{Vol}(\widehat{\Omega}_{t-\epsilon_0}) \leq \mathcal{N}(t) \leq \frac{(1+\epsilon)^2}{1-\epsilon} \frac{\text{Vol}(N_-(\partial \mathcal{H}))}{\text{Vol}(T^1M)} \text{Vol}(\widehat{\Omega}_{t+\epsilon_0}) .$$

Donc, par les formules (-16-) et (-10-), et puisque  $\epsilon$  et  $\epsilon_0$  peuvent être pris arbitrairement petits, nous avons l'équivalent quand  $t$  tend vers  $+\infty$ ,

$$\mathcal{N}(t) \sim \frac{2^{\frac{n-1}{2}} \text{Vol}(N_-(\partial \mathcal{H}))}{\text{Vol}(T^1M)} \text{Vol}(\mathcal{V}_t \widehat{C}) .$$

Par la proposition 3.3 et par le lemme 4.1, nous avons

$$\text{Vol}(N_-(\partial\mathcal{H})) = 2^{\frac{n-1}{2}} \text{Vol}(\partial\mathcal{H}) = (n-1) 2^{\frac{n-1}{2}} \text{Vol}(\mathcal{H}) .$$

Le théorème 4.2 découle alors de la formule (-2-) et de la proposition 4.3 d'estimation de volumes de voisinages tubulaires.  $\square$

Nous concluons cette partie par diverses remarques sur le théorème 4.2.

**Remarques.** (1) Si  $C$  est de codimension 1 et transversalement orientable, nous pouvons compter les perpendiculaires communes à  $C$  et à  $\partial\mathcal{H}$  qui partent d'un côté donné de  $C$ . Fixons une des deux composantes connexes  $\Sigma$  de  $\nu^1 C$ . Si  $\iota : C \rightarrow M$  est l'immersion considérée de  $C$  dans  $M$ , si  $\alpha$  est un segment perpendiculaire commun à  $C$  et à  $\partial\mathcal{H}$ , si  $v$  est le vecteur tangent (unitaire) de  $\alpha$  en son origine  $x$  dans  $C$ , alors appelons *multiplicité positive* de  $\alpha$  l'entier

$$m_+(\alpha) = \text{Card}\{x' \in C : \iota(x') = x, T_{x'}\iota(T_{x'}C) \perp v, \text{ et } v \in \Sigma\} .$$

La fonction de comptage associée est définie, pour tout  $t \geq 0$ , en posant  $\mathcal{N}_+(t)$  le nombre compté avec multiplicité positive de perpendiculaires communes entre  $C$  et  $\partial\mathcal{H}$ , de longueur algébrique au plus  $t$ . Comme toute composante connexe de  $\nu^1 C$  s'équidistribue quand on la pousse par le flot géodésique, on peut vérifier que la méthode utilisée dans la preuve du théorème 4.2 s'applique (en remplaçant  $\widehat{\Sigma}$  par la composante connexe de  $\nu^1 \widetilde{C}$  qui revêt  $\Sigma$ ). Le volume de la partie du  $t$ -voisinage de  $\widehat{C}$  d'un côté donné de  $\widehat{C}$  étant la moitié du volume de tout ce  $t$ -voisinage, nous en déduisons donc le résultat suivant.

**Corollaire 4.8** *Soit  $(M, C, \mathcal{H})$  comme dans l'énoncé du théorème 4.2, avec  $C$  de codimension 1 et transversalement orientable. Alors quand  $t$  tend vers  $+\infty$ ,*

$$\mathcal{N}_+(t) \sim \frac{\text{Vol}(\mathbb{S}_{n-k-1}) \text{Vol}(\mathcal{H}) \text{Vol}(C)}{2 \text{Vol}(\mathbb{S}_{n-1}) \text{Vol}(M)} e^{(n-1)t} . \quad \square$$

(2) Soit  $(M, C, \mathcal{H})$  comme dans l'énoncé du théorème 4.2. Soient  $m \in \mathbb{N} - \{0\}$  et  $p : M' \rightarrow M$  un revêtement de  $M$  à  $m$  feuillets. Si  $\iota : C \rightarrow M$  est l'immersion de  $C$  dans  $M$ , notons  $p' : C' \rightarrow C$  le revêtement riemannien de  $C$  à  $m$  feuillets, et  $\iota' : C' \rightarrow M'$  l'immersion (totalement géodésique) tels que le diagramme suivant commute :

$$\begin{array}{ccc} C' & \xrightarrow{\iota'} & M' \\ p' \downarrow & & \downarrow p \\ C & \xrightarrow{\iota} & M \end{array}$$

Posons  $\mathcal{H}' = p^{-1}(\mathcal{H})$ . Alors  $\mathcal{H}'$  est une réunion de voisinage cuspidaux de pointes de  $M'$ . Il est facile de vérifier que  $\text{Vol}(M') = m \text{Vol}(M)$ ,  $\text{Vol}(\mathcal{H}') = m \text{Vol}(\mathcal{H})$ ,  $\text{Vol}(C') = m \text{Vol}(C)$ , et, par définition des multiplicités, que  $\mathcal{N}_{M', C', \mathcal{H}'} = m \mathcal{N}_{M, C, \mathcal{H}}$ . Ceci est bien sûr compatible avec la formule asymptotique du théorème 4.2, et peut permettre d'étendre ce résultat aux cas des (bons) orbifolds, mais nous préférons une approche globale, plus utile pour nos applications.

(3) Soient  $n \geq 2$  et  $\Gamma$  un groupe discret de covolume fini d'isométries de  $\mathbb{H}_{\mathbb{R}}^n$  (ayant éventuellement de la torsion). Soient  $p \geq 1$  et  $C_1, \dots, C_p$  des sous-espaces hyperboliques

de dimension  $k < n$  de  $\mathbb{H}_{\mathbb{R}}^n$ , de stabilisateurs  $\Gamma_{C_1}, \dots, \Gamma_{C_p}$  de covolume fini. Soient  $q \geq 1$  et  $\mathcal{H}_1, \dots, \mathcal{H}_q$  des horoboules ouvertes de  $\mathbb{H}_{\mathbb{R}}^n$  *précisément invariantes* par  $\Gamma$  (c'est-à-dire qu'en notant  $\Gamma_{\mathcal{H}_j}$  le stabilisateur de  $\mathcal{H}_j$ , si  $\gamma \in \Gamma$  et  $\mathcal{H}_j \cap \gamma\mathcal{H}_j \neq \emptyset$  alors  $\gamma \in \Gamma_{\mathcal{H}_j}$ ).

Pour tous  $i \in \{1, \dots, p\}$ ,  $j \in \{1, \dots, q\}$  et  $\alpha, \beta \in \Gamma$ , notons  $\delta = \delta_{i,j,\alpha,\beta}$  l'arc géodésique de  $\mathbb{H}_{\mathbb{R}}^n$ , perpendiculaire commun entre  $\alpha C_i$  et  $\beta \partial \mathcal{H}_j$  lorsqu'il existe (c'est-à-dire lorsque le point à l'infini de  $\beta \mathcal{H}_j$  n'est pas un point à l'infini de  $\alpha C_i$ ). Le groupe  $\Gamma$  agit naturellement sur l'ensemble des tels arcs. Nous compterons la longueur  $\ell(\delta)$  de  $\delta$  positivement s'il sort de  $\beta \mathcal{H}_j$  en son point de départ sur  $\beta \partial \mathcal{H}_j$ , et négativement sinon. Appelons *multiplicité* de  $\delta$  (lorsqu'il existe) le rationnel

$$m(\delta) = \frac{1}{\text{Card}(\alpha \Gamma_{C_i} \alpha^{-1} \cap \beta \Gamma_{\mathcal{H}_j} \beta^{-1})}, \quad (-20-)$$

inverse du cardinal du stabilisateur dans  $\Gamma$  de  $\alpha C_i \cup \beta \mathcal{H}_j$ . (Cette multiplicité est naturelle : dans tout problème de comptage d'objets ayant d'éventuelles symétries, la bonne fonction de comptage consiste à donner pour multiplicité à un objet l'inverse du cardinal de son groupe de symétries.)

Puisque le stabilisateur dans  $\Gamma$  de  $\alpha C_i \cup \beta \mathcal{H}_j$  fixe point par point  $\delta$ , et par discrétude de  $\Gamma$ , la multiplicité  $m(\delta)$  est bien définie, et invariante par  $\Gamma$ . Par convention, posons  $m(\delta_{i,j,\alpha,\beta}) = 0$  et  $\ell(\delta_{i,j,e,\gamma}) = -\infty$  si  $\alpha C_i$  et  $\beta \partial \mathcal{H}_j$  n'ont pas d'arc perpendiculaire commun. Notons que pour tous les  $\gamma \in \Gamma$ ,  $\alpha_i \in \Gamma_{C_i}$  et  $\beta_j \in \Gamma_{\mathcal{H}_j}$ , l'arc  $\delta_{i,j,\alpha,\beta}$  existe si et seulement si l'arc  $\delta_{i,j,\gamma\alpha_i,\gamma\beta\beta_j}$  existe, et alors  $\gamma \delta_{i,j,\alpha,\beta} = \delta_{i,j,\gamma\alpha_i,\gamma\beta\beta_j}$ .

Pour tout  $t \geq 0$ , notons  $\mathcal{N}(t) = \mathcal{N}_{\Gamma, (C_i), (\mathcal{H}_j)}(t)$  le nombre, compté avec multiplicité, de classes modulo  $\Gamma$  d'arcs géodésiques  $\delta_{i,j,\alpha,\beta}$  de longueur au plus  $t$ . C'est aussi le nombre, compté avec multiplicité, de classes modulo  $\Gamma_{\mathcal{H}_j}$  de perpendiculaires communes entre  $\partial \mathcal{H}_j$  et les  $\alpha C_i$  de longueur au plus  $t$ , ou encore le nombre, compté avec multiplicité, de classes modulo  $\Gamma_{C_i}$  de perpendiculaires communes entre  $C_i$  et les  $\beta \partial \mathcal{H}_j$  de longueur au plus  $t$  :

$$\mathcal{N}(t) = \sum_{1 \leq i \leq p, 1 \leq j \leq q, [\gamma] \in \Gamma_{\mathcal{H}_j} \backslash \Gamma / \Gamma_{C_i}, \ell(\delta_{i,j,\gamma,e}) \leq t} m(\delta_{i,j,\gamma,e}).$$

**Corollaire 4.9** *Pour tout  $t \geq 0$ ,  $\mathcal{N}(t)$  est bien défini, est fini, et quand  $t$  tend vers  $+\infty$ ,*

$$\mathcal{N}(t) \sim \frac{\text{Vol}(\mathbb{S}_{n-k-1}) \left( \sum_{j=1}^q \text{Vol}(\Gamma_{\mathcal{H}_j} \backslash \mathcal{H}_j) \right) \left( \sum_{i=1}^p \text{Vol}(\Gamma_{C_i} \backslash C_i) \right)}{\text{Vol}(\mathbb{S}_{n-1}) \text{Vol}(\Gamma \backslash \mathbb{H}_{\mathbb{R}}^n)} e^{(n-1)t}.$$

**Démonstration.** Par additivité des deux membres de l'équivalent, nous pouvons supposer que  $p = q = 1$ , et nous notons  $\mathcal{H}_{\infty} = \mathcal{H}$ ,  $\Gamma_{\infty} = \Gamma_{\mathcal{H}_1}$ ,  $C_0 = C_1$ ,  $\Gamma_0 = \Gamma_{C_1}$ . Par le lemme de Selberg,  $\Gamma$  étant de type fini (et  $\mathbb{R}$  de caractéristique nulle), il existe un sous-groupe  $\Gamma'$  sans torsion, distingué, d'indice fini  $m$  dans  $\Gamma$ .

Notons  $M' = \Gamma' \backslash \mathbb{H}_{\mathbb{R}}^n$ , qui est une variété hyperbolique de volume fini de dimension  $n$ , et  $\pi' : \mathbb{H}_{\mathbb{R}}^n \rightarrow M'$  la projection canonique. Puisque le lieu de ramification du revêtement branché  $M' \rightarrow \Gamma \backslash \mathbb{H}_{\mathbb{R}}^n$  est de mesure nulle, nous avons

$$\text{Vol}(M') = m \text{Vol}(M).$$

Notons  $\gamma_1 \mathcal{H}_{\infty}, \dots, \gamma_{m_{\infty}} \mathcal{H}_{\infty}$  un système de représentants modulo  $\Gamma'$  des images par  $\Gamma$  de  $\mathcal{H}_{\infty}$ . L'image de  $\gamma_j \mathcal{H}_{\infty}$  dans  $M'$  par  $\pi'$  est un voisinage cuspidal d'une pointe  $e_j$  de  $M'$ ,

car  $\mathcal{H}_\infty$  est précisément invariante sous  $\Gamma$ . De plus,  $e_j \neq e_{j'}$  si  $j \neq j'$ , par définition du système de représentants. Notons  $\mathcal{H}'$  l'image dans  $M'$  de la réunion disjointe  $\bigcup_{j=1}^{m_\infty} \gamma_j \mathcal{H}_\infty$ , qui est ouverte. Par le même argument que précédemment, nous avons

$$\text{Vol}(\mathcal{H}') = m \text{Vol}(\Gamma_\infty \backslash \mathcal{H}_\infty) .$$

Le groupe  $\Gamma_0$  agit à gauche par translations à droite  $(g, \Gamma' \gamma) \mapsto \Gamma' \gamma g^{-1}$  sur l'ensemble fini  $\Gamma' \backslash \Gamma$  d'ordre  $m$ . Notons  $\{\Gamma' \gamma_1, \dots, \Gamma' \gamma_{m_0}\}$  un système de représentants des orbites : puisque  $\Gamma_0$  est le stabilisateur de  $C_0$  dans  $\Gamma$ ,  $\gamma_1 C_0, \dots, \gamma_{m_0} C_0$  est un système de représentants modulo  $\Gamma'$  des images par  $\Gamma$  de  $C_0$ . Le stabilisateur de  $\Gamma' \gamma_i$  pour cette action de  $\Gamma_0$  est  $\Gamma_0 \cap \gamma_i^{-1} \Gamma' \gamma_i$ . Par la formule des classes, nous avons

$$m = \sum_{i=1}^{m_0} \text{Card}(\Gamma_0 / (\Gamma_0 \cap \gamma_i^{-1} \Gamma' \gamma_i)) .$$

Notons  $C' = \prod_{i=1}^{m_0} \Gamma'_i \backslash (\gamma_i C_0)$ , où  $\Gamma'_i = \text{Stab}_{\Gamma'}(\gamma_i C_0) = \Gamma' \cap \gamma_i \Gamma_0 \gamma_i^{-1}$ , qui est une variété hyperbolique de volume fini de dimension  $k < n$ . Les inclusions des  $\gamma_i C_0$  dans  $\mathbb{H}_{\mathbb{R}}^n$  pour  $i = 1, \dots, m_0$  induisent une immersion totalement géodésique de  $C'$  dans  $M'$ . De plus

$$\begin{aligned} \text{Vol}(C') &= \sum_{i=1}^{m_0} \text{Vol}(\Gamma'_i \backslash (\gamma_i C_0)) = \sum_{i=1}^{m_0} [\gamma_i \Gamma_0 \gamma_i^{-1} : \Gamma'_i] \text{Vol}((\gamma_i \Gamma_0 \gamma_i^{-1}) \backslash (\gamma_i C_0)) \\ &= m \text{Vol}(\Gamma_0 \backslash C_0) , \end{aligned}$$

par la formule des classes ci-dessus.

Pour toute variété lisse  $N$ , notons  $\mathcal{G}_k(TN) \rightarrow N$  le fibré lisse des sous-espaces vectoriels de dimension  $k$  des espaces tangents aux points de  $N$ . Pour tout  $t \geq 0$ , notons  $\mathcal{E}(t)$  l'ensemble des images dans  $2^{M'} \times \mathcal{G}_k(TM')$ , par l'application induite par  $\pi'$ , des couples  $(\delta, E)$  pour lesquels il existe  $\alpha, \beta \in \Gamma$  tels que  $\delta$  soit la perpendiculaire commune entre  $\alpha C_0$  et  $\beta \partial \mathcal{H}_\infty$ , de longueur au plus  $t$ , et  $E$  soit l'espace tangent à  $\alpha C_0$  au point initial de  $\delta$  sur  $\alpha C_0$ . Par définition des multiplicités (voir la formule (-9-)), et puisque deux sous-variétés totalement géodésiques connexes d'une variété hyperbolique, qui ont même espace tangent en un point commun, coïncident, nous avons

$$\text{Card}(\mathcal{E}(t)) = \mathcal{N}_{M', C', \mathcal{H}'}(t) .$$

Le groupe fini  $\Gamma' \backslash \Gamma$  de cardinal  $m$  agit sur  $M'$ , donc sur  $\mathcal{E}(t)$ . Puisque  $\Gamma'$  agit librement sur  $\mathbb{H}_{\mathbb{R}}^n$ , le cardinal du stabilisateur dans ce groupe de l'image d'un  $(\delta, E)$  comme ci-dessus est égal au cardinal du stabilisateur dans  $\Gamma$  de  $(\delta, E)$ , donc de  $\alpha C_0 \cup \beta \mathcal{H}_\infty$ , puisque  $C_0$  est totalement géodésique et que toute géodésique perpendiculaire à une horoboule passe par son point à l'infini. Donc le cardinal de l'orbite par  $\Gamma' \backslash \Gamma$  de l'image de  $(\delta, E)$  est égal à  $\frac{m}{\text{Card}(\alpha \Gamma_{C_i} \alpha^{-1} \cap \beta \Gamma_{\mathcal{H}_j} \beta^{-1})}$ . Par définition des multiplicités (voir la formule (-20-)), nous avons donc

$$\text{Card}(\mathcal{E}(t)) = m \mathcal{N}_{\Gamma', (C_0), (\mathcal{H}_\infty)}(t) .$$

Le résultat découle alors du théorème 4.2 appliqué à  $M', C', \mathcal{H}'$ , et des calculs précédents des volumes.  $\square$

(4) La dernière remarque est une formule de comptage de points fixes hyperboliques (dans une orbite donnée) d'un groupe discret de covolume fini d'isométries de  $\mathbb{H}_{\mathbb{R}}^n$ , la

complexité étant (l'inverse de) la distance entre les deux points fixes de l'isométrie hyperbolique. Nous nous en servons pour les applications arithmétiques qui suivent. Nous laissons au lecteur le soin d'énoncer le résultat lorsque l'on remplace  $\gamma_0$  par un nombre fini de tels éléments (deux à deux sans puissances conjuguées). Si  $x$  est l'un des deux points fixes d'une isométrie hyperbolique de  $\mathbb{H}_{\mathbb{R}}^n$ , nous noterons  $x^\sigma$  l'autre point fixe.

**Corollaire 4.10** *Soit  $n \geq 2$ , et soit  $G$  un groupe discret de covolume fini d'isométries du modèle du demi-espace supérieur de  $\mathbb{H}_{\mathbb{R}}^n$  ayant  $\infty$  comme point fixe parabolique. Soit  $\gamma_0$  un élément hyperbolique de  $G$ , notons  $x_0 \in \partial_\infty \mathbb{H}_{\mathbb{R}}^n$  un de ses deux points fixes,  $\ell_0$  sa distance de translation, et  $n_{G,0}$  l'indice de  $\gamma_0^{\mathbb{Z}}$  dans le stabilisateur dans  $G$  de son axe de translation. Notons  $\mathcal{A}_\infty$  le volume euclidien d'un domaine fondamental mesurable de l'hyperplan affine de hauteur 1 sous l'action du stabilisateur  $G_\infty$  du point  $\infty$  dans  $G$ , et  $\|\cdot\|$  la norme euclidienne sur  $\partial_\infty \mathbb{H}_{\mathbb{R}}^n - \{\infty\} = \mathbb{R}^{n-1}$ . Alors quand  $t$  tend vers  $+\infty$ ,*

$$\sum_{x \in G_\infty \backslash G \{x_0, x_0^\sigma\}, \|x - x^\sigma\| \geq \frac{1}{t}} \frac{1}{\text{Card}(G_\infty \cap \text{Stab}_G x)} \sim \frac{2^n \ell_0 \text{Vol}(\mathbb{S}_{n-2}) \mathcal{A}_\infty}{(n-1) n_{G,0} \text{Vol}(\mathbb{S}_{n-1}) \text{Vol}(G \backslash \mathbb{H}_{\mathbb{R}}^n)} t^{n-1}.$$

**Démonstration.** Appliquons le corollaire 4.9 avec  $k = 1$ ,  $\Gamma = G$ , une seule horoboule  $\mathcal{H}_\infty$  constituée des points de  $\mathbb{H}_{\mathbb{R}}^n$  dont la dernière coordonnée est strictement supérieure à  $h$ , où  $h$  est choisi assez grand pour que  $\mathcal{H}_\infty$  soit précisément invariante, et une seule géodésique  $C_0$  égale à l'axe de translation de  $\gamma_0$ . Nous avons

$$\text{Vol}(G_\infty \backslash \mathcal{H}_\infty) = \frac{\mathcal{A}_\infty}{(n-1)h^{n-1}},$$

par le calcul du lemme 4.1. En notant  $G_0$  le stabilisateur de  $C_0$ , nous avons  $\text{Vol}(G_0 \backslash C_0) = \frac{\ell_0}{n_{G,0}}$ . Si  $x$  et  $y$  sont les extrémités, différentes du point  $\infty$ , d'une géodésique  $C_*$ , alors par un calcul immédiat de distance hyperbolique, toujours en comptant algébriquement les distances à  $\partial \mathcal{H}_\infty$ , nous avons  $d(\partial \mathcal{H}_\infty, C_*) = \log \frac{2h}{\|y-x\|}$ . En particulier,  $\|y-x\| \geq 1/t$  si et seulement si  $d(\partial \mathcal{H}_\infty, C_*) \leq \log(2ht)$ .

Pour tout  $\gamma \in G$ , en notant  $x$  et  $x^\sigma$  les points à l'infini de  $\gamma C_0$ , nous avons  $\text{Card}(G_\infty \cap \text{Stab}_G(x)) = \frac{1}{2} \text{Card}(G_\infty \cap \gamma G_0 \gamma^{-1})$  s'il existe un élément de  $G_\infty$  échangeant  $x$  et  $x^\sigma$ , et  $\text{Card}(G_\infty \cap \text{Stab}_\Gamma(x)) = \text{Card}(G_\infty \cap \gamma G_0 \gamma^{-1})$  sinon, auquel cas  $x$  et  $x^\sigma$  définissent deux éléments distincts de  $G_\infty \backslash G \{x_0, x_0^\sigma\}$ . Ainsi,

$$\begin{aligned} & \sum_{x \in G_\infty \backslash G \{x_0, x_0^\sigma\}, \|x - x^\sigma\| \geq \frac{1}{t}} \frac{1}{\text{Card}(G_\infty \cap \text{Stab}_G x)} \\ &= 2 \sum_{[\gamma] \in G_\infty \backslash G/G_0, d(\partial \mathcal{H}_\infty, \gamma C_0) \leq \log(2ht)} \frac{1}{\text{Card}(G_\infty \cap \gamma G_0 \gamma^{-1})} \end{aligned}$$

Le résultat découle alors du corollaire 4.9.  $\square$

La plupart de nos applications arithmétiques découleront du corollaire 4.10 de comptage de points fixes hyperboliques, en prenant  $n = 2, 3$  ou  $5$ .

## 5 Applications arithmétiques

Nous renvoyons par exemple à [Sam, Nar] pour toutes les informations sur les corps de nombres que nous utiliserons, et à [Lan, Bue, BV] pour celles sur les formes quadratiques binaires.

## 5.1 Irrationnels quadratiques et formes quadratiques binaires

Nous rappelons dans cette partie la bijection bien connue entre l'ensemble des réels irrationnels quadratiques  $\alpha$  et l'ensemble des formes quadratiques binaires  $Q$  entières primitives indéfinies ne représentant pas 0 sur  $\mathbb{Q}$ . Comme promis dans [PP1], nous donnons des interprétations algébriques de la complexité  $h(\alpha) = \frac{2}{|\alpha - \alpha^\sigma|}$ , en l'exprimant en fonction du discriminant de sa forme quadratique binaire associée, et, lorsque  $\alpha$  est un entier algébrique, en fonction de sa trace et de sa norme.

Notons  $K$  le corps des rationnels  $\mathbb{Q}$  (respectivement une extension quadratique imaginaire de  $\mathbb{Q}$ ), et  $\widehat{K} = \mathbb{R}$  (respectivement  $\widehat{K} = \mathbb{C}$ ). Soit  $\mathcal{O}_K$  l'anneau des entiers de  $K$ . Pour tout  $\alpha \in \widehat{K}$  irrationnel quadratique sur  $K$ , notons  $\alpha^\sigma$  son conjugué de Galois sur  $K$ ,  $\text{Tr}(\alpha) = \alpha + \alpha^\sigma$  sa trace (relative),  $N(\alpha) = \alpha\alpha^\sigma$  sa norme (relative), et

$$h(\alpha) = \frac{2}{|\alpha - \alpha^\sigma|}.$$

Le groupe  $\text{PSL}_2(\widehat{K})$  agit sur  $\mathbb{P}^1(\widehat{K}) = \widehat{K} \cup \{\infty\}$  par homographies. Son sous-groupe  $\Gamma_K = \text{PSL}_2(\mathcal{O}_K)$  préserve l'ensemble des éléments de  $\widehat{K}$  irrationnels quadratiques sur  $K$ , et son action commute avec l'action de l'automorphisme de Galois.

Remarquons que  $h(\alpha)$  est fini, non nul, et que  $h(\alpha^\sigma) = h(\alpha)$ . Nous avons montré dans [PP1] que pour tout  $\beta$  appartenant au stabilisateur  $\Gamma_{K,\infty}$  du point  $\infty$  dans  $\Gamma_K$ , nous avons  $h(\beta\alpha) = h(\alpha)$ , et qu'il n'existe qu'un nombre fini d'orbites modulo  $\Gamma_{K,\infty}$  d'éléments  $\alpha$  de  $\widehat{K}$  irrationnels quadratiques sur  $K$  tels que  $h(\alpha) \leq c$ , pour toute constante  $c > 0$ .

Pour tout  $\alpha$  dans  $\widehat{K}$ , il est bien connu (voir par exemple [PP1, Lem. 6.2]) que  $\alpha$  est irrationnel quadratique sur  $K$  si et seulement s'il existe un élément hyperbolique du réseau  $\Gamma_K$  de  $\text{PSL}_2(\widehat{K})$  ayant  $\alpha$  pour point fixe, l'autre point fixe étant alors  $\alpha^\sigma$ .

Après ces rappels sur les irrationnels quadratiques, passons aux rappels sur les formes quadratiques binaires.

Soit  $Q(X, Y) = AX^2 + BXY + CY^2$  une forme quadratique binaire entière (sur  $\mathbb{Q}$ ). Nous noterons  $A = A_Q$  si préciser  $Q$  est nécessaire. La forme  $Q$  est dite *primitive* si ses coefficients  $A, B, C$  sont premiers entre eux. Notons  $D = D_Q = B^2 - 4AC$  le *discriminant* de  $Q$ , qui est congru à 0 ou 1 modulo 4. La forme quadratique réelle  $Q$  est indéfinie si et seulement si  $D > 0$ . La forme  $Q$  est dite *irréductible* si elle ne vérifie pas l'une des assertions équivalentes suivantes :

- $Q$  est, à multiple rationnel près, le produit de deux formes linéaires entières ;
- $Q$  représente 0 sur  $\mathbb{Q}$  ;
- $D$  est un carré.

Remarquons que  $A \neq 0$  si  $D$  n'est pas un carré. Le groupe  $\text{SL}_2(\mathbb{Z})$  agit à droite sur l'ensemble des formes quadratiques binaires entières par  $(\gamma, Q) \mapsto Q \circ \gamma$ , en préservant le discriminant :  $\forall \gamma \in \text{SL}_2(\mathbb{Z}), D_{Q \circ \gamma} = D_Q$ . Deux formes quadratiques binaires entières sont dites *équivalentes* si elles sont dans la même orbite sous  $\text{SL}_2(\mathbb{Z})$ .

Le résultat suivant est bien connu (voir par exemple [BV, Theo. 4.5.8 (2)]), sa preuve (non directe) est un prétexte pour introduire des objets qui nous serviront ultérieurement. Posons

$$\alpha_Q = \frac{-B + \sqrt{D}}{2A}.$$

**Proposition 5.1** *L'application  $Q \mapsto \alpha_Q$  est une bijection de l'ensemble des formes quadratiques binaires entières primitives indéfinies irréductibles dans l'ensemble des réels irrationnels quadratiques, telle que, pour tout  $\gamma \in \mathrm{SL}_2(\mathbb{Z})$ ,*

$$\alpha_{-Q} = (\alpha_Q)^\sigma \quad \text{et} \quad \alpha_{Q \circ \gamma} = \gamma \alpha_Q .$$

**Démonstration.** Puisque  $Q$  est primitive, le sous-groupe  $\mathrm{SO}(Q, \mathbb{Z})$  de  $\mathrm{SL}_2(\mathbb{Z})$  des éléments fixant  $Q(X, Y) = AX^2 + BXY + CY^2$  est (voir par exemple [Lan, Theo. 202])

$$\mathrm{SO}(Q, \mathbb{Z}) = \left\{ \gamma_{Q,t,u} = \begin{pmatrix} \frac{t-Bu}{2} & -Cu \\ Au & \frac{t+Bu}{2} \end{pmatrix} : t, u \in \mathbb{Z}, t^2 - Du^2 = 4 \right\} .$$

Notons  $(t_Q, u_Q)$  la solution fondamentale de l'équation de Pell-Fermat  $t^2 - Du^2 = 4$ .

L'image  $\mathrm{PSO}(Q, \mathbb{Z}) = \mathrm{SO}(Q, \mathbb{Z}) / \{\pm \mathrm{id}\}$  de  $\mathrm{SO}(Q, \mathbb{Z})$  dans  $\mathrm{PSL}_2(\mathbb{Z})$  est infinie cyclique, engendrée par  $\pm \gamma_Q = \pm \gamma_{Q,t_Q,u_Q}$ . L'application  $Q \mapsto \pm \gamma_Q$  est une bijection de l'ensemble des formes quadratiques binaires entières primitives indéfinies irréductibles dans l'ensemble des éléments hyperboliques primitifs de  $\mathrm{PSL}_2(\mathbb{Z})$  (voir [Sar1, Prop. 1.4]), telle que, pour tout  $\gamma \in \mathrm{SL}_2(\mathbb{Z})$ ,

$$\gamma_{-Q} = (\gamma_Q)^{-1} \quad \text{et} \quad \gamma_{Q \circ \gamma} = \gamma \gamma_Q \gamma^{-1} .$$

Il est immédiat de montrer que l'irrationnel quadratique  $\alpha_Q$  est le point fixe attractif de  $\pm \gamma_Q$  dans  $\mathbb{P}^1(\mathbb{R})$ , l'autre point fixe étant le conjugué de Galois  $\alpha_Q^\sigma$ . Remarquons que  $\mathrm{PSO}(Q, \mathbb{Z})$  est le stabilisateur de  $\alpha_Q$  dans  $\mathrm{PSL}_2(\mathbb{Z})$ .

Comme l'application de l'ensemble des éléments hyperboliques primitifs  $\gamma$  de  $\mathrm{PSL}_2(\mathbb{Z})$  dans l'ensemble des réels irrationnels quadratiques, qui à  $\gamma$  associe son point fixe attractif, est une bijection, le résultat en découle.  $\square$

La complexité  $h(\alpha)$  d'un réel irrationnel quadratique  $\alpha$  vérifie alors les propriétés suivantes.

**Lemme 5.2** *Soit  $Q$  une forme quadratique binaire entière indéfinie irréductible.*

(1) *Nous avons*

$$h(\alpha_Q) = \frac{2|A_Q|}{\sqrt{D_Q}} .$$

(2) *Pour tout  $\gamma = \pm \begin{pmatrix} a & b \\ c & d \end{pmatrix}$  dans  $\mathrm{PSL}_2(\mathbb{Z})$ , nous avons*

$$h(\gamma \alpha_Q) = \frac{|Q(d, -c)|}{|A_Q|} h(\alpha_Q) = \frac{2}{\sqrt{D_Q}} |Q(d, -c)| .$$

(3) *Si  $\alpha$  est un entier quadratique réel, alors*

$$h(\alpha) = \frac{2}{\sqrt{\mathrm{Tr}(\alpha)^2 - 4N(\alpha)}} .$$

**Démonstration.** (1) La première assertion découle immédiatement des définitions de  $h(\cdot)$  et de  $\alpha_Q$ .

(2) Notons pour simplifier  $\alpha = \alpha_Q$ . Remarquons tout d'abord que  $N(\alpha) = C/A$ , et  $\text{Tr}(\alpha) = -B/A$ , donc

$$Q(X, Y) = A(X^2 - \text{Tr}(\alpha)XY + N(\alpha)Y^2). \quad (-21-)$$

Or

$$\gamma\alpha - \gamma\alpha^\sigma = \frac{a\alpha + b}{c\alpha + d} - \frac{a\alpha^\sigma + b}{c\alpha^\sigma + d} = \frac{\alpha - \alpha^\sigma}{c^2N(\alpha) + cd\text{Tr}(\alpha) + d^2}. \quad (-22-)$$

Par (1), l'assertion (2) en découle.

(3) La forme quadratique binaire  $Q_\alpha(X, Y) = X^2 - \text{Tr}(\alpha)XY + N(\alpha)Y^2$  (qui vérifie  $Q_\alpha = Q_{\alpha^\sigma}$ ) est entière, primitive, et n'est pas produit de formes linéaires entières, car  $Q_\alpha(X, Y) = N(X - \alpha Y)$  sur  $\mathbb{Z}^2$  et  $\alpha$  est irrationnel. Son discriminant  $D_{Q_\alpha} = \text{Tr}(\alpha)^2 - 4N(\alpha)$  est strictement positif, car  $\alpha$  est réel irrationnel. Il est immédiat que  $\alpha_{Q_\alpha}$  est égal à  $\alpha$  ou à  $\alpha^\sigma$ . Le résultat découle donc de (1).  $\square$

**Remarque.** Si  $Q$  est une forme quadratique binaire entière indéfinie primitive irréductible, alors  $\alpha_Q$  est un entier algébrique si et seulement si  $A_Q = 1$ . En effet, par la formule (-21-), nous avons  $A_Q = 1$  si et seulement si  $Q(X, Y) = X^2 - \text{Tr}(\alpha)XY + N(\alpha)Y^2$ , et un réel quadratique est un entier quadratique si et seulement si sa norme et sa trace sont entières.

Nous dirons indifféremment qu'une forme quadratique binaire entière  $Q$ , qu'un réel irrationnel quadratique  $\alpha$ , un élément hyperbolique  $\gamma$  de  $\text{PSL}_2(\mathbb{Z})$  est *réciproque* s'il est, respectivement, équivalent à  $-Q$ , dans la même orbite que son conjugué de Galois sous  $\text{PSL}_2(\mathbb{Z})$ , conjugué à son inverse dans  $\text{PSL}_2(\mathbb{Z})$ .

**Proposition 5.3** *Soit  $Q$  une forme quadratique binaire entière primitive indéfinie de discriminant non carré. Les conditions suivantes sont équivalentes :*

- (1)  $Q$  est réciproque ;
- (2)  $\alpha_Q$  est réciproque ;
- (3) la période du développement en fraction continue de  $\alpha_Q$  est un palindrome à permutation cyclique près ;
- (4)  $\pm\gamma_Q$  est réciproque ;
- (5)  $\gamma_Q$  est conjugué à une matrice symétrique.

Lorsque  $\alpha_Q$  est un entier algébrique, la condition (2) est équivalente à demander que l'ordre  $\mathbb{Z} + \alpha_Q\mathbb{Z}$  contienne une unité de norme  $-1$ .

Voir aussi [PR, Lon, Bur, Sar2] pour d'autres caractérisations.

**Démonstration.** L'équivalence entre (1), (2) et (4) découle de la proposition 5.1 et de sa preuve, le point fixe attractif de l'inverse d'un élément hyperbolique étant son point fixe répulsif. Pour l'équivalence entre (2) et (3), comme démontré par exemple dans [Per, §23], la partie périodique du développement en fraction continue de  $\alpha^\sigma$  est, à permutation cyclique près, obtenue en renversant l'ordre de la partie périodique du développement en fraction continue de  $\alpha$  ; de plus, deux nombres réels sont dans la même orbite par homographies entières si et seulement si les queues de leur développement en fraction continue coïncident. Pour l'équivalence entre (4) et (5), voir [Sar2].

Pour montrer la dernière assertion, remarquons d'une part que si  $\alpha$  est un réel quadratique irrationnel, si  $\gamma = \pm \begin{pmatrix} a & b \\ c & d \end{pmatrix} \in \text{PSL}_2(\mathbb{Z})$  envoie  $\alpha$  sur  $\alpha^\sigma$ , alors par l'équation

(-22-), nous avons  $N(d + \alpha_Q c) = -1$ . Réciproquement, si  $\alpha$  est un entier quadratique irrationnel, supposons que  $\mathbb{Z} + \alpha\mathbb{Z}$  contienne un élément de norme  $-1$ . Soient  $a$  et  $c$  dans  $\mathbb{Z}$  tels que  $N(c\alpha - a) = -1$ , c'est-à-dire que  $c^2 N(\alpha) - ac \operatorname{Tr}(\alpha) + a^2 = -1$ . En particulier,  $\alpha$  étant un entier quadratique,  $c$  divise  $a^2 + 1$ . Posons  $d = -a$  et  $b = -\frac{a^2+1}{c}$ . Nous avons alors  $ad - bc = 1$  et  $cN(\alpha) - a \operatorname{Tr}(\alpha) - b = 0$ , c'est-à-dire que  $\alpha^\sigma(c\alpha + d) = a\alpha + b$ . Donc  $\alpha$  est réciproque.  $\square$

## 5.2 Comptage d'irrationnels quadratiques réels dans une orbite de sous-groupes de congruences du groupe modulaire

Nous donnons dans cette partie un théorème de comptage d'irrationnels quadratiques dans une orbite par homographies d'un sous-groupe d'indice fini du groupe modulaire (étendu par l'automorphisme de Galois).

**Théorème 5.4** *Soit  $\alpha_0$  un nombre réel, irrationnel quadratique sur  $\mathbb{Q}$ . Soient  $G$  un sous-groupe d'indice fini du groupe modulaire  $\Gamma = \operatorname{PSL}_2(\mathbb{Z})$ , et  $\cdot$  son action par homographies sur  $\mathbb{R} \cup \{\infty\}$ . Alors quand  $s$  tend vers  $+\infty$ ,*

$$\operatorname{Card}\{\alpha \in G \cdot \{\alpha_0, \alpha_0^\sigma\} \bmod q_G : h(\alpha) \leq s\} \sim \frac{12 q_G \log\left(\frac{|\operatorname{tr} \gamma_0| + \sqrt{\operatorname{tr}^2 \gamma_0 - 4}}{2}\right)}{\pi^2 [\Gamma : G] n_0} s ,$$

où  $q_G$  est le plus petit entier strictement positif  $q$  tel que l'homographie  $z \mapsto z+q$  appartienne à  $G$ ;  $\gamma_0$  est un élément non trivial de  $G$  fixant  $\alpha_0$ ; et  $n_0$  est l'indice de  $\gamma_0^{\mathbb{Z}}$  dans le stabilisateur de  $\{\alpha_0, \alpha_0^\sigma\}$  dans  $G$ .

Avant de donner la preuve de ce résultat, voici quelques valeurs possibles pour  $q_G$  et  $[\Gamma : G]$ . Soit  $p \in \mathbb{N} - \{0, 1\}$ . Si  $G = \Gamma(p)$  est le sous-groupe de congruence principal modulo  $p$ , c'est-à-dire le noyau du morphisme  $\operatorname{PSL}_2(\mathbb{Z}) \rightarrow \operatorname{PSL}_2(\mathbb{Z}/p\mathbb{Z})$  de réduction modulo  $p$  des coefficients, alors (voir par exemple [Kat, Theo. 5.5.4], [Shi, p. 22])

$$(q_G, [\Gamma : G]) = \begin{cases} (2, 6) & \text{si } p = 2, \\ \left(p, \frac{p^3}{2} \prod_{\substack{\mathfrak{p} \text{ premier, } \mathfrak{p}|p}} \left(1 - \frac{1}{\mathfrak{p}^2}\right)\right) & \text{si } p > 2. \end{cases} \quad (-23-)$$

Et si  $G = \Gamma_0(p) = \left\{ \pm \begin{pmatrix} a & b \\ c & d \end{pmatrix} \in \operatorname{PSL}_2(\mathbb{Z}) : c \equiv 0 \pmod{p} \right\}$  est la préimage du sous-groupe triangulaire supérieur par le morphisme de réduction modulo  $p$  des coefficients, alors (voir par exemple [Shi, p. 24])

$$(q_G, [\Gamma : G]) = \left(1, p \prod_{\substack{\mathfrak{p} \text{ premier, } \mathfrak{p}|p}} \left(1 + \frac{1}{\mathfrak{p}}\right)\right). \quad (-24-)$$

**Démonstration.** Remarquons tout d'abord que  $q_G$  existe, car  $z \mapsto z+1$  appartient à  $\Gamma$ , et  $G$  est d'indice fini dans  $\Gamma$ . De même,  $\gamma_0$  existe et est hyperbolique (donc vérifie  $|\operatorname{tr} \gamma_0| > 2$ ), par exemple par la démonstration de la proposition 5.1 ou par [PP1, Lem. 6.2], et  $n_0$  est donc bien défini.

Nous appliquons le corollaire 4.10 avec  $n = 2$ ,  $\mathcal{A}_\infty = q_G$  (tout segment de longueur euclidienne  $q_G$  dans la droite horizontale à hauteur 1 étant un domaine fondamental de cette droite sous l'action du stabilisateur  $G_\infty$  du point  $\infty$  dans  $G$ ), et

$$\text{Vol}(G \backslash \mathbb{H}_{\mathbb{R}}^2) = [\Gamma : G] \text{Vol}(\text{PSL}_2(\mathbb{Z}) \backslash \mathbb{H}_{\mathbb{R}}^2) = \frac{\pi [\Gamma : G]}{3}.$$

Rappelons la formule

$$\cosh \frac{\ell_0}{2} = \frac{|\text{tr } \gamma_0|}{2} \quad (-25-)$$

bien connue (voir par exemple [Bea, page 173]) de la distance de translation  $\ell_0$  d'un élément hyperbolique  $\gamma_0$  de  $\text{PSL}_2(\mathbb{R})$ .

Notons que  $h(\alpha) \leq t$  si et seulement si  $|\alpha - \alpha^\sigma| \geq \frac{2}{t}$ , et que  $G_\infty$  étant sans torsion, toutes les multiplicités valent 1. Le résultat découle donc du corollaire 4.10.  $\square$

Remarquons que si  $\alpha_0$  est réciproque, si  $\gamma_0$  est primitif, et si  $G = \Gamma$ , alors  $q_G = 1$  et  $n_0 = 2$ . Donc quand  $s$  tend vers  $+\infty$ ,

$$\text{Card}\{\alpha \in \Gamma \cdot \alpha_0 \bmod \mathbb{Z} : h(\alpha) \leq s\} \sim \frac{6 \log \left( \frac{|\text{tr } \gamma_0| + \sqrt{\text{tr}^2 \gamma_0 - 4}}{2} \right)}{\pi^2} s.$$

Par exemple, le nombre d'or  $\phi = (1 + \sqrt{5})/2$  est un point fixe de l'élément hyperbolique primitif symétrique  $\begin{pmatrix} 2 & 1 \\ 1 & 1 \end{pmatrix}$  de  $\Gamma = \text{PSL}_2(\mathbb{Z})$ . Donc, quand  $s$  tend vers  $+\infty$ ,

$$\text{Card}\{\alpha \in \Gamma \cdot \phi \bmod \mathbb{Z} : h(\alpha) \leq t\} \sim \frac{12 \log \phi}{\pi^2} t.$$

Pour conclure cette partie, montrons le corollaire 1.4 de l'introduction.

**Démonstration du corollaire 1.4.** Si  $\alpha_0$  est un entier quadratique irrationnel réel, la forme quadratique binaire  $Q_\alpha(X, Y) = X^2 - \text{Tr}(\alpha)XY + N(\alpha)Y^2$  est, comme vu dans la preuve du lemme 5.2 (3), entière, primitive, irréductible, de discriminant  $D_Q$  égal au discriminant  $D = \text{Tr}(\alpha_0)^2 - 4N(\alpha_0)$  de  $\mathcal{O} = \mathbb{Z} + \alpha_0\mathbb{Z}$ . Par la preuve de la proposition 5.1, la valeur absolue de la trace de l'élément hyperbolique primitif  $\gamma_0 = \pm \gamma_{Q_{\alpha_0}}$  de  $\text{PSL}_2(\mathbb{Z})$  fixant  $\alpha_0$  est  $t_0$ , où, comme défini dans l'introduction,  $(t_0, u_0)$  est la solution fondamentale de l'équation de Pell-Fermat  $t^2 - Du^2 = 4$ . Par la dernière assertion de la proposition 5.3, l'indice  $n_0$  de  $\gamma_0^{\mathbb{Z}}$  dans le stabilisateur de  $\{\alpha_0, \alpha_0^\sigma\}$ , qui vaut 2 si  $\alpha_0$  est réciproque, et 1 sinon, est égal au  $n_0$  défini en introduction. Le résultat découle alors du théorème 5.4.  $\square$

D'autres résultats de comptage peuvent être obtenus en variant le sous-groupe arithmétique. Par exemple, en renvoyant à [Kat, MR] pour toute information sur les constructions par les quaternions de groupes fuchsien, soient

- $A$  une algèbre de quaternion non ramifiée sur  $\mathbb{Q}$ , de norme  $N$  et de trace  $\text{Tr}$ , comme  $\left( \frac{p, -1}{\mathbb{Q}} \right)$  où  $p \in \mathbb{N} - \{0\}$  vérifie  $p \equiv 1 \pmod{4}$ , de base standard  $1, i, j, k$  (voir par exemple [MR, page 88]),
- $\mathcal{O}$  un ordre de  $A$ , comme  $\mathcal{O} = \mathbb{Z} + i\mathbb{Z} + j\mathbb{Z} + k\mathbb{Z}$  dans l'exemple ci-dessus,
- $\rho : A \otimes \mathbb{R} \rightarrow \mathcal{M}_2(\mathbb{R})$  un isomorphisme d'algèbres de quaternions sur  $\mathbb{R}$ , comme  $a+ib+cj+dk \mapsto \begin{pmatrix} a+b\sqrt{p} & c+d\sqrt{p} \\ -c+d\sqrt{p} & a-b\sqrt{p} \end{pmatrix}$  dans l'exemple ci-dessus (voir par exemple [Kat, page 114]).

Posons  $\Gamma(A, \mathcal{O}) = \rho(\{x \in \mathcal{O} : N(x) = 1\})/\{\pm \text{id}\}$ , qui est un réseau non uniforme de  $\text{PSL}_2(\mathbb{R})$ . Comme  $\rho$  préserve norme et trace, les éléments hyperboliques de  $\Gamma(A, \mathcal{O})$  sont les  $\pm\rho(x)$  pour les  $x \in \mathcal{O}$  tels que  $|\text{Tr } x| > 2$  et  $N(x) = 1$ , ceux paraboliques (ou l'identité) les  $\pm\rho(x)$  pour les  $x \in \mathcal{O}$  tels que  $|\text{Tr } x| = 2$  et  $N(x) = 1$ . Le corollaire 4.10 s'applique encore pour donner des résultats de comptage asymptotique de points fixes hyperboliques dans une orbite donnée de  $\Gamma(A, \mathcal{O})$ .

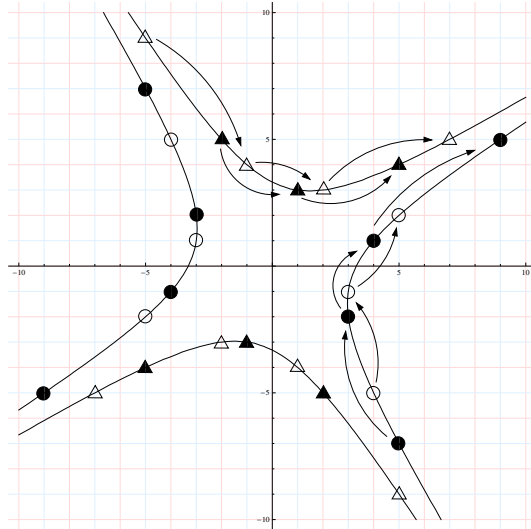
Dans notre exemple, si  $(x, y)$  est une solution de l'équation de Pell-Fermat  $x^2 - py^2 = 1$  et si  $(x', y')$  est une solution de l'équation de Pell-Fermat  $x'^2 - py'^2 = -1$  (qui existe car  $p \equiv 1 \pmod{4}$ ), alors 0 est un point fixe de l'élément hyperbolique  $\pm \begin{pmatrix} x + y\sqrt{p} & 0 \\ 0 & x - y\sqrt{p} \end{pmatrix}$  et  $\frac{x'}{1-y'\sqrt{p}}$  est le point fixe de l'élément parabolique  $\pm \begin{pmatrix} 1 + x'\sqrt{p} & py' + \sqrt{p} \\ -py' + \sqrt{p} & 1 - x'\sqrt{p} \end{pmatrix}$ , que nous pouvons envoyer en  $\infty$  par une conjugaison définie sur  $\mathbb{Q}(\sqrt{p})$ . Ainsi, l'ensemble des points fixes hyperboliques de  $\Gamma(A, \mathcal{O})$  est un joli sous-ensemble arithmétique défini de  $\mathbb{R}$  (formé d'éléments quadratiques sur  $\mathbb{Q}(\sqrt{p})$ ), auquel nous pouvons appliquer le résultat de comptage 4.10.

### 5.3 Comptage de représentations de formes quadratiques binaires entières

Soit  $\mathcal{P}$  le sous-ensemble de  $\mathbb{Z}^2$  des éléments de coordonnées premières entre elles. Il est invariant par l'action linéaire de  $\text{SL}_2(\mathbb{Z})$ . Pour toute forme quadratique binaire entière indéfinie irréductible  $Q$ , notons

$$\Psi_Q(s) = \text{Card}(\text{SO}(Q, \mathbb{Z}) \setminus \{x \in \mathcal{P} : |Q(x)| \leq s\})$$

le nombre des représentations propres non équivalentes par  $Q$  des entiers de valeur absolue au plus  $s$ . Le dessin ci-dessous décrit, lorsque  $Q(X, Y) = X^2 - XY - Y^2$  et  $s = 11$  les orbites de  $\text{SO}(Q, \mathbb{Z})$  sur les hyperboles d'équation  $|Q(x)| = s$ .



Notons  $D'$  le quotient du discriminant  $D_Q$  de  $Q$  par le carré du plus grand diviseur commun des coefficients de  $Q$ . Notons  $(t_Q, u_Q)$  la solution fondamentale de l'équation de

Pell-Fermat  $t^2 - D' u^2 = 4$ , et

$$\epsilon_Q = \frac{t_Q + u_Q \sqrt{D'}}{2} \quad \text{et} \quad R_Q = \log \epsilon_Q .$$

**Théorème 5.5** *Soit  $Q$  une forme quadratique binaire entière indéfinie de discriminant non carré. Alors quand  $s$  tend vers  $+\infty$ ,*

$$\Psi_Q(s) \sim \frac{12 R_Q}{\pi^2 \sqrt{D_Q}} s .$$

Le corollaire 1.3 de l'introduction en découle.

**Démonstration.** Puisque  $\Psi_{kQ}(s) = \Psi_Q(\frac{s}{k})$ ,  $D_{kQ} = k^2 D_Q$ , et  $\epsilon_Q = \epsilon_{kQ}$ , nous pouvons supposer que  $Q$  est primitive.

Nous appliquons le corollaire 4.9 avec  $n = 2$ ,  $k = 1$ ,  $\Gamma = \text{PSL}_2(\mathbb{Z})$ , une seule horoboule  $\mathcal{H}_\infty$  (de stabilisateur noté  $\Gamma_\infty$ ) constituée des points du demi-plan supérieur de coordonnée verticale au moins 1, et une seule géodésique  $C_0$  égale à l'axe de translation de  $\pm\gamma_Q$ . Il est immédiat que

$$\text{Vol}(\Gamma_\infty \backslash \mathcal{H}_\infty) = 1 \quad \text{et} \quad \text{Vol}(\Gamma \backslash \mathbb{H}_{\mathbb{R}}^2) = \frac{\pi}{3} .$$

Notons  $i_Q$  l'indice de  $\text{PSO}(Q, \mathbb{Z})$  dans  $\Gamma_0 = \text{Stab}_\Gamma C_0$  (qui vaut 2 ou 1 suivant que  $Q$  est réciproque ou pas). Puisque  $\pm\gamma_Q$  engendrent  $\text{PSO}(Q, \mathbb{Z})$ , et comme la trace de  $\gamma_Q$  est  $t_Q$ , nous avons, par la formule (-25-) et un petit calcul,

$$\text{Vol}(\Gamma_0 \backslash C_0) = \frac{2 \operatorname{argcosh}(\frac{t_Q}{2})}{i_Q} = \frac{2 \log \epsilon_Q}{i_Q} = \frac{2R_Q}{i_Q} .$$

Le groupe  $\text{SL}_2(\mathbb{Z})$  agit à droite sur  $\mathbb{Z}^2$  par  $(\gamma, x) \mapsto \gamma^{-1}x$ , l'orbite de  $(1, 0)$  est exactement l'ensemble des couples  $(d, -c)$  d'entiers premiers entre eux, et le stabilisateur de  $(1, 0)$  est le sous-groupe unipotent triangulaire supérieur  $U$ . Par le lemme 5.2 (2),  $\Psi_Q(s)$  est donc le nombre de doubles classes dans  $U \backslash \text{SL}_2(\mathbb{Z}) / \text{SO}(Q, \mathbb{Z})$  des éléments  $\gamma$  de  $\text{SL}_2(\mathbb{Z})$  tels que  $h(\gamma\alpha_Q) \leq \frac{2}{\sqrt{D_Q}} s$ . Puisque  $-\text{id}$  appartient à  $\text{SO}(Q, \mathbb{Z})$ , l'application canonique de  $U \backslash \text{SL}_2(\mathbb{Z}) / \text{SO}(Q, \mathbb{Z})$  dans  $\Gamma_\infty \backslash \Gamma / \Gamma_0$  est surjective, chaque préimage est d'ordre  $i_Q$ , et la valeur de  $h(\gamma\alpha_Q)$  est constante sur chaque préimage. Comme déjà vu dans la preuve du corollaire 4.10, nous avons  $d(\mathcal{H}_\infty, \gamma C_0) = \log h(\gamma\alpha_Q)$ . Donc, en utilisant le corollaire 4.9,

$$\begin{aligned} \Psi_Q(s) &= i_Q \operatorname{Card} \left\{ [\gamma] \in \Gamma_\infty \backslash \Gamma / \Gamma_0 : d(\mathcal{H}_\infty, \gamma C_0) \leq \log \left( \frac{2}{\sqrt{D_Q}} s \right) \right\} \\ &\sim i_Q \frac{\text{Vol}(\mathbb{S}_0) \text{Vol}(\Gamma_\infty \backslash \mathcal{H}_\infty) \text{Vol}(\Gamma_0 \backslash C_0)}{\text{Vol}(\mathbb{S}_1) \text{Vol}(\Gamma \backslash \mathbb{H}_{\mathbb{R}}^2)} \left( \frac{2}{\sqrt{D_Q}} s \right) = \frac{12 R_Q}{\pi^2 \sqrt{D_Q}} s . \quad \square \end{aligned}$$

**Remarque.** Soient  $p \in \mathbb{N} - \{0, 1\}$  et  $Q(X, Y) = AX^2 + BXY + CY^2$  une forme quadratique binaire entière indéfinie de discriminant non carré. Considérons les sous-groupes de congruence  $\Gamma(p)$  et  $\Gamma_0(p)$  définis dans la partie 5.2. En reprenant les notations de la preuve de la proposition 5.1, la preuve de [Sar1, Prop. 3.3] montre, lorsque  $Q$  est primitive, que  $\gamma_{Q,t,u}$  appartient à  $\Gamma(p)$  si et seulement si  $p$  divise  $u$ . De même, si  $A \equiv 1 \pmod{p}$ , alors  $\gamma_{Q,t,u}$  appartient à  $\Gamma_0(p)$  si et seulement si  $p$  divise  $u$ . Notons encore  $D'$  le quotient du discriminant  $D_Q$  de  $Q$  par le carré du plus grand diviseur commun des coefficients de

$Q$ . Notons  $(t_{Q,p}, u_{Q,p})$  la solution de l'équation de Pell-Fermat  $t^2 - D' u^2 = 4$  telle que  $t_{Q,p} > 0, u_{Q,p} > 0, p$  divise  $u_{Q,p}$  et  $u_{Q,p}$  est minimale. Posons

$$\epsilon_{Q,p} = \frac{t_{Q,p} + u_{Q,p}\sqrt{D'}}{2} \quad \text{et} \quad R_{Q,p} = \log \epsilon_{Q,p} .$$

Posons  $\mathcal{P}(p)$  l'ensemble des  $(X, Y)$  dans  $\mathcal{P}$  tels que  $X \equiv 1 \pmod{p}$  et  $Y \equiv 0 \pmod{p}$ , qui est invariant par  $\Gamma(p)$ , et  $\mathcal{P}_0(p)$  l'ensemble des  $(X, Y)$  dans  $\mathcal{P}$  tels que  $Y \equiv 0 \pmod{p}$ , qui est invariant par  $\Gamma_0(p)$ . Notons

$$\Psi_{Q,p}(s) = \text{Card} \left( (\text{SO}(Q, \mathbb{Z}) \cap \Gamma(p)) \setminus \{(X, Y) \in \mathcal{P}(p) : |Q(X, Y)| \leq s\} \right)$$

et

$$\Psi_{Q,p,0}(s) = \text{Card} \left( (\text{SO}(Q, \mathbb{Z}) \cap \Gamma_0(p)) \setminus \{(X, Y) \in \mathcal{P}_0(p) : |Q(X, Y)| \leq s\} \right) .$$

En appliquant le même raisonnement que dans la preuve du théorème 5.5 en remplaçant le groupe  $\Gamma = \text{PSL}_2(\mathbb{Z})$  par  $\Gamma(p)$  et  $\Gamma_0(p)$  et en utilisant les formules (-23-) et (-24-), nous avons, quand  $s$  tend vers  $+\infty$ ,

$$\Psi_{Q,p}(s) \sim \begin{cases} \frac{4 R_{Q,p}}{\pi^2 \sqrt{D_Q}} s & \text{si } p = 2, \\ \frac{24 R_{Q,p}}{\pi^2 p^2 \sqrt{D_Q}} \prod_{\substack{p \text{ premier, } p|p} } \left(1 - \frac{1}{p^2}\right)^{-1} s & \text{si } p > 2, \end{cases}$$

et, si  $A \equiv 1 \pmod{p}$ ,

$$\Psi_{Q,p,0}(s) \sim \frac{12 R_{Q,p}}{\pi^2 p \sqrt{D_Q}} \prod_{\substack{p \text{ premier, } p|p} } \left(1 + \frac{1}{p}\right)^{-1} s .$$

#### 5.4 Comptage d'irrationnels quadratiques imaginaires dans une orbite de sous-groupes de congruences du groupe de Bianchi

Étant donné un corps de nombres quadratique imaginaire  $K$ , le but de cette partie est de donner un équivalent quand  $s$  tend vers  $+\infty$  du nombre modulo translations entières sur  $K$  d'irrationnels quadratiques sur  $K$ , appartenant à une orbite donnée par homographies et anti-homographies entières sur  $K$ , de complexité au plus  $s$ , où la complexité d'un irrationnel quadratique sur  $K$  est mesurée par l'inverse de sa distance à son conjugué de Galois.

Si  $K$  est un corps de nombres, rappelons que la fonction zéta (de Dedekind) de  $K$ , définie sur  $\{z \in \mathbb{C} : \text{Re } s > 1\}$ , est

$$\zeta_K(s) = \sum_{\mathfrak{a}} \frac{1}{N(\mathfrak{a})^s} ,$$

où  $\mathfrak{a}$  parcourt les idéaux non nuls de l'anneau  $\mathcal{O}$  des entiers de  $K$  et  $N(\mathfrak{a}) = \text{Card}(\mathcal{O}/\mathfrak{a})$ .

**Théorème 5.6** Soit  $D$  un entier strictement négatif, congru à 0 ou à 1 modulo 4, sans facteur carré. Soit  $\mathcal{O}_D$  l'anneau des entiers du corps de nombres quadratique imaginaire  $K_D$  de discriminant  $D$ . Soit  $\alpha_0$  un nombre complexe, irrationnel quadratique sur  $K_D$ . Soient  $G$  un sous-groupe d'indice fini de  $\mathrm{PSL}_2(\mathcal{O}_D)$ ,  $\cdot$  son action par homographies sur  $\mathbb{C} \cup \{\infty\}$ , et  $\Lambda$  le réseau des  $\lambda \in \mathcal{O}_D$  tels que  $\pm \begin{pmatrix} 1 & \lambda \\ 0 & 1 \end{pmatrix} \in G$ . Alors quand  $s$  tend vers  $+\infty$ ,

$$\mathrm{Card}\{\alpha \in G \cdot \{\alpha_0, \alpha_0^\sigma\} \bmod \Lambda : h(\alpha) \leq s\} \sim \frac{4\pi^2 n_{G,\infty} \left| \log \left| \frac{\mathrm{tr} \gamma_0 + \sqrt{\mathrm{tr} \gamma_0^2 - 4}}{2} \right| \right|}{n_G n_{G,0} \omega_D |D| \zeta_{K_D}(2)} s^2,$$

où  $\omega_D$  est le nombre de racines de l'unité dans  $\mathcal{O}_D$ ;  $n_G$  est l'indice de  $G$  dans  $\mathrm{PSL}_2(\mathcal{O}_D)$ ;  $n_{G,\infty}$  est l'indice de  $\Lambda$  dans le stabilisateur de  $[1 : 0]$  dans  $\mathrm{PSL}_2(\mathcal{O}_D)$ ;  $\gamma_0$  est un élément de  $G$  fixant  $\alpha_0$  et de modules de valeurs propres différents de 1; et  $n_{G,0}$  est l'indice de  $\gamma_0^{\mathbb{Z}}$  dans le stabilisateur de  $\{\alpha_0, \alpha_0^\sigma\}$  dans  $G$ .

**Démonstration.** Le groupe  $G$ , d'indice fini dans le sous-groupe arithmétique  $\mathrm{PSL}_2(\mathcal{O}_D)$  de  $\mathrm{PSL}_2(\mathbb{C})$ , est un groupe discret de covolume fini d'isométries de  $\mathbb{H}_{\mathbb{R}}^3$ . Par une formule due à Humbert (voir par exemple les parties 8.8 and 9.6 de [EGM]), nous avons

$$\mathrm{Vol}(G \backslash \mathbb{H}_{\mathbb{R}}^3) = n_G \mathrm{Vol}(\mathrm{PSL}_2(\mathcal{O}_D) \backslash \mathbb{H}_{\mathbb{R}}^3) = \frac{n_G}{4\pi^2} |D|^{3/2} \zeta_{K_D}(2).$$

Le point  $\infty$  de  $\partial_\infty \mathbb{H}_{\mathbb{R}}^3$  est le point fixe d'un élément parabolique (par exemple  $z \mapsto z + 1$ ) de  $\mathrm{PSL}_2(\mathcal{O}_D)$ , donc d'un élément parabolique de son sous-groupe d'indice fini  $G$ . Notons  $G_\infty$  le stabilisateur de  $\infty$  dans  $G$ . Il contient  $\Lambda$  avec indice fini  $n'_{G,\infty}$ , et il est contenu dans le stabilisateur de  $\infty$  dans  $\mathrm{PSL}_2(\mathcal{O}_D)$  avec indice fini  $n''_{G,\infty}$ . Nous avons donc  $n_{G,\infty} = n'_{G,\infty} n''_{G,\infty}$ . Un domaine fondamental pour l'action sur  $\mathbb{C}$  du stabilisateur de  $\infty$  dans  $\mathrm{PSL}_2(\mathcal{O}_D)$  est le rectangle  $[0, 1] \times [0, \frac{\sqrt{|D|}}{2}]$  si  $D \neq -3, -4$ , le rectangle  $[0, 1] \times [0, \frac{1}{2}]$  si  $D = -4$ , et le parallélogramme de sommets  $0, \frac{1}{2} - \frac{i}{2\sqrt{3}}, \frac{1}{2} + \frac{i}{2\sqrt{3}}, \frac{i}{\sqrt{3}}$  si  $D = -3$ , voir par exemple [EGM, page 318]. Notons que  $\omega_D$  vaut respectivement 2, 4, 6 dans ces trois cas. Donc l'aire d'un domaine fondamental mesurable pour l'action de  $G_\infty$  sur l'horosphère de  $\mathbb{H}_{\mathbb{R}}^3$  formé des points de hauteur euclidienne 1 est

$$\mathcal{A}_\infty = \frac{n''_{G,\infty} \sqrt{|D|}}{\omega_D}.$$

Remarquons que  $\gamma_0$  existe bien, et est hyperbolique, voir par exemple [PP1, Lem. 6.2], et  $n_{G,0}$  est donc bien défini. Par un calcul classique, la distance de translation  $\ell_0$  d'un élément  $\gamma_0$  de  $\mathrm{PSL}_2(\mathbb{C})$  vérifie

$$\ell_0 = 2 \left| \log \left| \frac{\mathrm{tr} \gamma_0 + \sqrt{\mathrm{tr} \gamma_0^2 - 4}}{2} \right| \right|,$$

qui ne dépend pas du choix de la racine carrée du nombre complexe  $\mathrm{tr} \gamma_0^2 - 4$ , ni du choix du représentant de  $\gamma_0$  dans  $\mathrm{SL}_2(\mathbb{C})$  modulo  $\{\pm \mathrm{id}\}$ .

Nous pouvons donc appliquer le corollaire 4.10, avec  $n = 3$ ,  $G = G$  et  $t = \frac{s}{2}$ , en remarquant que nous avons  $\mathrm{Card}(G_\infty \cap \mathrm{Stab}_G \alpha) > 1$  seulement pour un nombre fini d'orbites modulo  $G_\infty$  d'éléments  $\alpha$  de  $G \cdot \{\alpha_0, \alpha_0^\sigma\}$ , et que pour passer d'un comptage modulo  $G_\infty$  à un comptage modulo  $\Lambda$ , il faut multiplier le premier nombre par  $n'_{G,\infty}$ .  $\square$

Voici un exemple d'application de ce théorème 5.6, dont le corollaire 1.5 de l'introduction découle (voir la remarque suivant la démonstration).

**Corollaire 5.7** Soit  $\phi = \frac{1+\sqrt{5}}{2}$  le nombre d'or, soit  $\mathfrak{a}$  un idéal non nul de  $\mathcal{O}_D$ , et soit  $\Gamma_0(\mathfrak{a})$  le sous-groupe de congruence  $\left\{ \pm \begin{pmatrix} a & b \\ c & d \end{pmatrix} \in \mathrm{PSL}_2(\mathcal{O}_D) : c \in \mathfrak{a} \right\}$ . Alors quand  $s$  tend vers  $+\infty$ , le cardinal de  $\{\alpha \in \Gamma_0(\mathfrak{a}) \cdot \{\phi, \phi^\sigma\} \bmod \mathcal{O}_D : h(\alpha) \leq s\}$  est équivalent à

$$\frac{4\pi^2 k_{\mathfrak{a}} \log \phi}{|D| \zeta_{K_D}(2) N(\mathfrak{a}) \prod_{\mathfrak{p}|\mathfrak{a}} \left(1 + \frac{1}{N(\mathfrak{p})}\right)} s^2,$$

où  $k_{\mathfrak{a}}$  est le plus petit entier  $k \in \mathbb{N} - \{0\}$  tel que le  $2k$ -ème terme de la suite de Fibonacci appartienne à  $\mathfrak{a}$ , si  $D \neq -4$  et si  $\phi^\sigma$  n'est pas dans la même orbite que  $\phi$  par  $\Gamma_0(\mathfrak{a})$ .

**Démonstration.** Appliquons le théorème 5.6 ci-dessus avec  $\alpha_0 = \phi$  et  $G = \Gamma_0(\mathfrak{a})$ . Alors  $\Lambda = \mathcal{O}_D$ ,  $n_G = N(\mathfrak{a}) \prod_{\mathfrak{p}|\mathfrak{a}} \left(1 + \frac{1}{N(\mathfrak{p})}\right)$  par [New, page 117] (où comme d'habitude, le produit est pris sur les idéaux premiers divisant  $\mathfrak{a}$ ), et  $n_{G,\infty} = \frac{\omega_D}{2}$ .

Soit  $\gamma_1 = \begin{pmatrix} 2 & 1 \\ 1 & 1 \end{pmatrix}$  si  $D \neq -4$  et  $\gamma_1 = \begin{pmatrix} i & i \\ i & 0 \end{pmatrix}$  sinon. Alors  $\pm\gamma_1$  appartient à  $\mathrm{PSL}_2(\mathcal{O}_D)$  et fixe  $\phi$  (donc  $\phi^\sigma$ ). Notons  $k'_a$  le plus petit entier strictement positif  $k$  tel que  $\pm\gamma_1^k$  appartienne à  $\Gamma_0(\mathfrak{a})$ , qui existe car  $\Gamma_0(\mathfrak{a})$  est d'indice fini dans  $\mathrm{PSL}_2(\mathcal{O}_D)$ . Posons  $\gamma_0 = \pm\gamma_1^{k'_a}$ , qui appartient à  $\Gamma_0(\mathfrak{a})$ . Remarquons que la distance de translation de  $\gamma_0$  vaut  $k'_a$  fois celle de  $\pm\gamma_1$ , donc

$$\left| \log \left| \frac{\mathrm{tr} \gamma_0 + \sqrt{\mathrm{tr} \gamma_0^2 - 4}}{2} \right| \right| = \begin{cases} 2k'_a \log \phi & \text{si } D \neq -4 \\ k'_a \log \phi & \text{sinon.} \end{cases}$$

Notons  $c(\gamma)$  le coefficient 2-1 d'un élément  $\gamma \in \mathrm{SL}_2(\mathbb{C})$ . Si  $P = \begin{pmatrix} \phi & \phi^\sigma \\ 1 & 1 \end{pmatrix}$ , alors  $\gamma_1 = P \begin{pmatrix} \phi^2 & 0 \\ 0 & \phi^{-2} \end{pmatrix} P^{-1}$  si  $D \neq -4$  et  $\gamma_1 = P \begin{pmatrix} i\phi & 0 \\ 0 & -i\phi^{-1} \end{pmatrix} P^{-1}$  sinon. Si  $D \neq -4$ , pour tout  $k \in \mathbb{N} - \{0\}$ , nous avons donc  $c(\gamma_1^k) = \frac{\phi^{2k} - \phi^{-2k}}{\sqrt{5}}$ . Ce nombre est le  $2k$ -ème terme  $x_{2k}$  de la suite de Fibonacci  $(x_n)_{n \in \mathbb{N}}$ , définie par la relation de récurrence  $x_{n+2} = x_{n+1} + x_n$ , de valeurs initiales  $x_0 = 0$  et  $x_1 = 1$ . L'entier  $k_a$  défini ci-dessus est donc égal à  $k'_a$  si  $D \neq -4$ .

Calculons maintenant  $n_{G,0}$ . Notons  $F_G$  (respectivement  $F_\Gamma$ ) le fixateur de  $\{\phi, \phi^\sigma\}$  dans  $\Gamma_0(\mathfrak{a})$  (respectivement  $\mathrm{PSL}_2(\mathcal{O}_D)$ ). Pour tout  $\gamma \in \mathrm{SL}_2(\mathbb{C})$  tel que  $\pm\gamma \in F_\Gamma$ , il existe  $\rho = \rho(\gamma) > 0$  et  $\theta \in \mathbb{R}/2\pi\mathbb{Z}$  tel que  $\gamma = P \begin{pmatrix} \rho e^{i\theta} & 0 \\ 0 & \rho^{-1} e^{-i\theta} \end{pmatrix} P^{-1}$ ; donc  $|c(\gamma)|^2 = \frac{\rho^2 + \rho^{-2} - 2 \cos(2\theta)}{5}$ . En particulier, si  $\rho < \phi$ , alors  $|c(\gamma)|^2 < 1$ . Quitte à remplacer  $\gamma$  par son inverse, nous pouvons supposer que  $\gamma$  ne translate pas de  $\phi^\sigma$  vers  $\phi$  sur la géodésique entre  $\phi$  et  $\phi^\sigma$ . Rappelons que la norme d'un élément de  $\mathcal{O}_D$ , égale au carré du module, est entière, et que l'ensemble des distances de translations des éléments de  $F_\Gamma$  est un sous-groupe discret de  $\mathbb{R}$ . Par conséquent, si  $\rho < \phi$ , alors  $c(\gamma) = 0$  et donc  $\pm\gamma$ , qui fixe  $\infty, \phi, \phi^\sigma$ , vaut l'identité. Nous ne pouvons avoir  $\phi < \rho < \phi^2$ , sinon  $0 < \rho \left( \begin{pmatrix} 2 & 1 \\ 1 & 1 \end{pmatrix} \gamma^{-1} \right) < \phi$ , ce que nous venons d'exclure. Si  $\rho = \phi$ , alors  $|c(\gamma)|^2 \leq 1$ , avec égalité si et seulement si  $\theta = \frac{\pi}{2}$

mod  $\pi$ . L'élément  $\gamma$  est alors égal à  $\pm \begin{pmatrix} i & i \\ i & 0 \end{pmatrix}$ , qui appartient à  $\mathrm{PSL}_2(\mathcal{O}_D)$  si et seulement si  $D = -4$ . Si  $\rho = \phi^2$ , alors  $\theta = 0 \pmod{\pi}$ , sinon  $\rho \left( \begin{pmatrix} 2 & 1 \\ 1 & 1 \end{pmatrix} \gamma^{-1} \right) = 1 < \phi$ , ce que nous avons exclu. Donc  $F_\Gamma$  est égal à  $(\pm\gamma_1)^\mathbb{Z}$ . Par définition de  $k'_\mathfrak{a}$ , nous en déduisons que  $F_G$  est égal à  $\gamma_0^\mathbb{Z}$ . L'indice  $n_{G,0}$  de  $\gamma_0^\mathbb{Z}$  dans le stabilisateur de  $\{\phi, \phi^\sigma\}$  dans  $\Gamma_0(\mathfrak{a})$  vaut donc 2 s'il existe un élément de  $\Gamma_0(\mathfrak{a})$  envoyant  $\phi$  sur  $\phi^\sigma$ , et 1 sinon.

Le résultat découle alors du théorème 5.6.  $\square$

En notant  $\delta_{\xi,\eta}$  le symbole de Kronecker (qui vaut 1 si  $\xi = \eta$  et 0 sinon), la démonstration ci-dessus montre que le corollaire 5.7 reste valable dans tous les cas, en divisant l'asymptotique par  $(2 - \delta_{D,-4})(1 + \delta_{\Gamma_0(\mathfrak{a})\cdot\phi, \Gamma_0(\mathfrak{a})\cdot\phi^\sigma})$  et en y remplaçant  $k_\mathfrak{a}$  par l'entier  $k'_\mathfrak{a}$  défini dans la démonstration ci-dessus. Puisque  $c(P \begin{pmatrix} i\phi & 0 \\ 0 & -i\phi^{-1} \end{pmatrix} P^{-1}) = i^n \frac{\phi^n - (\phi^\sigma)^n}{\sqrt{5}}$ , cet entier  $k'_\mathfrak{a}$  est le plus petit entier  $k$  tel que le  $k$ -ème terme de la suite de Fibonacci appartienne à  $\mathfrak{a}$ .

**Remarque.** Soient  $K$  un corps de nombres quadratique imaginaire,  $\mathfrak{a}$  un idéal non nul de l'anneau  $\mathcal{O}_K$  de ses entiers, et  $G$  un sous-groupe d'indice fini de  $\mathrm{PSL}_2(\mathcal{O}_K)$ . Un irrationnel quadratique  $\alpha$  sur  $K$  est dit *G-réciproque* si  $\alpha$  et son conjugué de Galois  $\alpha^\sigma$  sur  $K$  sont dans la même orbite par homographies de  $G$ . Par exemple, les seuls éléments de  $\mathrm{PSL}_2(\mathcal{O}_K)$  envoyant  $\phi$  sur  $\phi^\sigma$  sont les  $\alpha_k = \begin{pmatrix} 0 & -1 \\ 1 & 0 \end{pmatrix} \gamma_1^k$  pour  $k \in \mathbb{N}$ , où  $\gamma_1$  est défini dans la preuve ci-dessus. Si  $D \neq -4$ , le coefficient 2-1 de  $\alpha_k$  est, au signe près, le  $(2k+1)$ -ème terme de la suite de Fibonacci. Il est facile de vérifier que celui-ci vaut 2 si  $k = 1$ , et n'est pas congru à 0 modulo 3. Si  $D \neq -4$ , nous en déduisons donc que  $\phi$  est  $\Gamma_0(2)$ -réciproque, mais n'est pas  $\Gamma_0(3)$ -réciproque.

## Références

- [Bab] M. Babillot. *On the mixing property for hyperbolic systems*. Israel J. Math. **129** (2002) 61–76.
- [Bas] A. Basmajian. *Tubular neighborhoods of totally geodesic hypersurfaces in hyperbolic manifolds*. Invent. Math. **117** (1994) 207–225.
- [Bea] A. F. Beardon. *The geometry of discrete groups*. Grad. Texts Math. **91**, Springer-Verlag, 1983.
- [BGS] W. Ballmann, M. Gromov, and V. Schroeder. *Manifolds of nonpositive curvature*. Progress in Math. **61**, Birkhäuser 1985.
- [BHP] K. Belabas, S. Hersonsky, and F. Paulin. *Counting horoballs and rational geodesics*. Bull. Lond. Math. Soc. **33** (2001), 606–612.
- [BH] M. R. Bridson and A. Haefliger. *Metric spaces with non-positive curvature*. Grund. math. Wiss. **319**, Springer Verlag, 1998.
- [BK] P. Buser and H. Karcher. *Gromov's almost flat manifolds*. Astérisque **81**, Soc. Math. France, 1981.
- [Bou] M. Bourdon. *Structure conforme au bord et flot géodésique d'un  $CAT(-1)$  espace*. L'Ens. Math. **41** (1995) 63–102.

- [Bow] B. Bowditch. *Geometrical finiteness with variable negative curvature*. Duke Math. J. **77** (1995) 229–274.
- [BV] J. Buchmann and U. Vollmer. *Binary quadratic forms : an algorithmic approach*. Alg. Comput. Math. **20**, Springer Verlag, 2007.
- [Bue] D. A. Buell. *Binary quadratic forms*. Springer Verlag, 1989.
- [Bug] Y. Bugeaud. *Approximation by algebraic numbers*. Camb. Tracts Math. **160**, Cambridge Univ. Press, 2004.
- [Bur] E. Burger. *A tail of two palindromes*. Amer. Math. Month. **112** (2005) 311–321.
- [Bus] P. Buser. *Geometry and spectra of compact Riemann surfaces*. Prog. Math. **106**, Birkhäuser, 1992.
- [Coh] H. Cohn. *A second course in number theory*. Wiley, 1992.
- [DOP] F. Dal’Bo, J.-P. Otal, and M. Peigné. *Séries de Poincaré des groupes géométriquement finis*. Israel J. Math. **118** (2000) 109–124.
- [EGM] J. Elstrodt, F. Grunewald, and J. Mennicke. *Groups acting on hyperbolic space*. Springer Verlag, 1998.
- [EM] A. Eskin and C. McMullen. *Mixing, counting, and equidistribution in Lie groups*. Duke Math. J. **71** (1993) 181–209.
- [Her] O. Hermann. *Über die Verteilung der Längen geodätischer Lote in hyperbolischen Raumformen*. Math. Z. **79** (1962) 323–343.
- [HP] S. Hersonsky and F. Paulin. *Counting orbit points in coverings of negatively curved manifolds and Hausdorff dimension of cusp excursions*. Erg. Theo. Dyn. Sys. **24** (2004) 1–22.
- [Hub] H. Huber. *Zur analytischen Theorie hyperbolischen Raumformen und Bewegungsgruppen*. Math. Ann. **138** (1959) 1–26.
- [Kat] S. Katok. *Fuchsian groups*. Univ. Chicago Press, 1992.
- [Lan] E. Landau. *Elementary number theory*. Chelsea Pub. 1958.
- [Lon] Y. Long. *Criterion for  $SL_2(\mathbb{Z})$ -matrix to be conjugate to its inverse*. Chin. Ann. Math. **23B** (2002) 455–460.
- [Mar1] G. Margulis. *Applications of ergodic theory for the investigation of manifolds of negative curvature*. Funct. Anal. Applic. **3** (1969) 335–336.
- [Mar2] G. Margulis. *On some aspects of the theory of Anosov systems*. Mono. Math., Springer Verlag, 2004.
- [MR] C. Maclachlan and A. Reid. *The arithmetic of hyperbolic 3-manifolds*. Grad. texts in Math. **219**, Springer Verlag, 2003.
- [Nar] W. Narkiewicz. *Elementary and analytic theory of algebraic numbers*. 2nd Ed., Springer Verlag, 1990.
- [New] M. Newman. *Integral matrices*. Academic Press, 1972.
- [Pat] S.J. Patterson. *The limit set of a Fuchsian group*. Acta. Math. **136** (1976) 241–273.
- [Per] O. Perron. *Die Lehre von den Kettenbrüchen*. B. G. Teubner, 1913.
- [PP1] J. Parkkonen and F. Paulin. *Spiraling spectra of geodesic lines in negatively curved manifolds*. prépublication Univ. Jyväskylä, June 2008, [arXiv:0806.1857], à paraître dans Mathematische Zeitschrift.

- [PP2] J. Parkkonen and F. Paulin. *On the representations of integers by indefinite binary Hermitian forms*. En préparation.
- [PR] L. Polterovich and Z. Rudnick. *Stable mixing for cat maps and quasi-morphisms of the modular group*. Erg. Theo. Dyn. Sys. **24** (2004) 609–619.
- [Rob] T. Roblin. *Ergodicité et équidistribution en courbure négative*. Mémoire Soc. Math. France, **95** (2003).
- [Sam] P. Samuel. *Théorie algébrique des nombres*. Hermann, 1967.
- [Sar1] P. Sarnak. *Class numbers of indefinite binary quadratic forms*. J. Number Theo. **15** (1982) 229–247.
- [Sar2] P. Sarnak. *Reciprocal geodesics*. Clay Math. Proc. **7** (2007) 217–237.
- [Shi] G. Shimura. *Introduction to the arithmetic theory of automorphic functions*. Princeton Univ. Press, 1971.
- [Sul] D. Sullivan. *The density at infinity of a discrete group of hyperbolic motions*. Publ. Math. IHES **50** (1979) 172–202.
- [Wald] M. Waldschmidt. *Diophantine approximation on linear algebraic groups*. Grund. math. Wiss. Univ. **326**, Springer Verlag, 2000.
- [Walt] R. Walter. *Some analytical properties of geodesically convex sets*. Abh. Math. Sem. Univ. Hamburg **45** (1976) 263–282.

Department of Mathematics and Statistics, P.O. Box 35  
 40014 University of Jyväskylä, FINLAND  
*e-mail* : parkkone@maths.jyu.fi

DMA, UMR 8553 CNRS  
 Ecole Normale Supérieure, 45 rue d’Ulm  
 75230 PARIS Cedex 05, FRANCE  
*e-mail* : Frederic.Paulin@ens.fr

and Département de mathématique, Bât. 425  
 Université Paris-Sud 11  
 91405 ORSAY Cedex, FRANCE  
*e-mail* : frederic.paulin@math.u-psud.fr